

Министерство образования Республики Беларусь
Учреждение образования
«Белорусский государственный университет
информатики и радиоэлектроники»

Факультет информационных технологий и управления

Кафедра интеллектуальных информационных технологий

**ТРАДИЦИОННЫЕ И ИНТЕЛЛЕКТУАЛЬНЫЕ
ИНФОРМАЦИОННЫЕ ТЕХНОЛОГИИ.
ПОСОБИЕ ДЛЯ ПРАКТИЧЕСКИХ ЗАНЯТИЙ**

*Рекомендовано УМО по образованию в области
информатики и радиоэлектроники в качестве пособия
для специальности 1-40 03 01 «Искусственный интеллект»*

Минск БГУИР 2016

УДК 004.8(076)

ББК 32.813я73

Т65

Авторы:

В. В. Голенков, Н. А. Гулякина, И. Т. Давыденко, Д. В. Шункевич

Рецензенты:

кафедра интеллектуальных систем Белорусского государственного университета (протокол №12 от 12.05.2015);

ведущий научный сотрудник государственного научного учреждения «Объединенный институт проблем информатики Национальной академии наук Беларусь», кандидат физико-математических наук, доцент Ю. В. Потосин

Традиционные и интеллектуальные информационные технологии. Пособие для практических занятий : пособие /
T65 В. В. Голенков [и др.]. – Минск : БГУИР, 2016. – 64 с. : ил.
ISBN 978-985-543-210-5.

Пособие включает пять практических занятий, в которых изучаются основы теории графов, принципы обработки графовых структур в традиционных компьютерах, основы формализации знаний, представления графовых структур в интеллектуальных системах, базовые принципы обработки графовых структур в интеллектуальных системах. Занятия содержат теоретические сведения, варианты индивидуальных заданий, примеры решения задач и выполнения алгоритмов.

УДК 004.8(076)

ББК 32.813я73

ISBN 978-985-543-210-5

© УО «Белорусский государственный университет информатики и радиоэлектроники», 2016

СОДЕРЖАНИЕ

ВВЕДЕНИЕ	4
1 ОСНОВЫ ТЕОРИИ ГРАФОВ	5
2 ПРИНЦИПЫ ОБРАБОТКИ ГРАФОВЫХ СТРУКТУР В ТРАДИЦИОННЫХ КОМПЬЮТЕРАХ	8
3 ОСНОВЫ ФОРМАЛИЗАЦИИ ЗНАНИЙ	16
4 ПРЕДСТАВЛЕНИЕ ГРАФОВЫХ СТРУКТУР В ИНТЕЛЛЕКТУАЛЬНЫХ СИСТЕМАХ	18
5 БАЗОВЫЕ ПРИНЦИПЫ ОБРАБОТКИ ГРАФОВЫХ СТРУКТУР В ИНТЕЛЛЕКТУАЛЬНЫХ СИСТЕМАХ	46
СПИСОК ИСПОЛЬЗОВАННЫХ ИСТОЧНИКОВ	64

Библиотека БГУИР

ВВЕДЕНИЕ

При изучении дисциплины «Традиционные и интеллектуальные информационные технологии» первокурсники знакомятся с широко используемыми пакетами прикладных программ, современными системами контроля версий, базовыми принципами функционирования интеллектуальных систем, а также приобретают базовые навыки формализации знаний и программирования на специализированных языках обработки знаний.

Целью практических занятий является закрепление теоретического курса, приобретение навыков решения теоретико-графовых задач, активизация самостоятельной работы студентов.

Пособие состоит из пяти практических занятий, включенных в программу дисциплины на второй семестр, по следующим темам:

1. Основы теории графов.
2. Принципы обработки графовых структур в традиционных компьютерах.
3. Основы формализации знаний.
4. Представление графовых структур в интеллектуальных системах.
5. Базовые принципы обработки графовых структур в интеллектуальных системах.

1 ОСНОВЫ ТЕОРИИ ГРАФОВ

Содержание занятия: понятие графовой структуры; типология графовых структур, основные определения.

1.1 Теоретические сведения

Теорию графов начали разрабатывать для решения некоторых задач о геометрических конфигурациях, состоящих из точек и линий. В этих задачах несущественно, соединены ли точки конфигурации отрезками прямых или криволинейными дугами, какова длина линий и другие геометрические характеристики конфигурации. Важно лишь то, что каждая линия соединяет какие-либо две из заданных точек. Таким образом, можно дать определение графа как совокупности двух множеств V (точек) и E (линий), между элементами которых определено отношение инцидентности, причем каждый элемент $e \in E$ инцидентен ровно двум элементам $v, u \in V$. Элементы множества V называются вершинами графа G , элементы множества E – его ребрами.

Дадим более формальное определение понятия графа:

Граф – алгебраическая система, модель, сигнатура которой содержит только бинарные отношения. Обычно рассматриваются графы с одним бинарным отношением в сигнатуре. Если такое единственное бинарное отношение является симметричным или его связки являются неориентированными множествами, то такой граф называется неориентированным, в других случаях – ориентированным.

Подграфом графа A называется граф, носитель и все сигнатурные отношения которого являются соответственно подмножествами носителя и сигнатурных отношений графа A . Элементы носителя графа называют **вершинами** графа, а элементы сигнатурных отношений – **ребрами** в симметричных отношениях и **дугами** – в несимметричных.

Смежными вершинами называют вершины, соединенные одним ребром либо дугой. Смежными ребрами называют ребра, имеющие общую вершину.

Смежностным неориентированному графу A называется граф, множество вершин которого взаимно однозначно соответствует множеству ребер графа A таким образом, что если два ребра смежны в графе A , то смежны и соответствующие вершины в смежностном графе и наоборот.

Граф называется **взвешенным** графом, если его каждому ребру или дуге сопоставлено число.

Полный граф – граф, в котором любые две вершины соединены ребром.

Множество компонент связности графа – множество его связных подграфов, каждая пара которых не образует связный граф. **Связный граф** – граф, у которого любая пара его вершин соединена простой цепью. **Простая цепь** – цепь, у которой все вершины различны. **Цепь** – маршрут, у которого все ребра различны.

Маршрут – чередующаяся последовательность вершин и ребер, начинающаяся с вершины А (начало) и заканчивающаяся вершиной В (конец). Каждые два соседних элемента этой последовательности инцидентны друг другу. Длина маршрута – количество ребер в нем. Расстояние между двумя вершинами связного графа – это длина простой цепи, соединяющей их. Эксцентриситет вершины связного графа – расстояние до самой удаленной от нее вершины.

Диаметр связного графа – наибольший из его эксцентриситетов. **Радиус** связного графа – наименьший из его эксцентриситетов. **Центром** связного графа называется вершина, эксцентриситет которой равен радиусу графа. Ребро графа – **мост**, если его удаление приводит к возрастанию числа компонент связности в нем. **Цикл** – цепь, которая начинается и заканчивается одной вершиной. **Простой цикл** – цикл, являющийся простой цепью.

Эйлеров граф – граф, для которого существует цикл, содержащий все его ребра или дуги. Связный неориентированный граф, для которого отсутствуют циклы, называется **деревом**. Граф называется **двудольным** тогда и только тогда, когда все его вершины могут быть разбиты на два множества, причем любая пара вершин одного множества не является смежной в этом графе. Двудольный неориентированный граф называется **дольнорегулярным** тогда и только тогда, когда для каждой доли существует число, для любой вершины этой доли совпадающее с числом всех ребер графа, инцидентных этой вершине.

1.2 Варианты индивидуальных заданий

- Построить неориентированный связный граф с указанным числом вершин, каждая из которых инцидентна указанному однаковому для всех вершин числу ребер (если такой граф существует).
- Построить ориентированный связный граф с указанным числом вершин, такой, что из каждой вершины выходит и в каждую вершину входит указанное одинаковое для всех вершин количество дуг (количество входящих = количество выходящих = N).
- Достроить исходный неориентированный граф до графа с указанным числом вершин, каждая из которых инцидентна указанному однаковому для всех вершин числу ребер (если такой граф существует).

4. Достроить исходный неориентированный граф до связного дольнорегулярного двудольного графа с указанным числом вершин, для каждой доли которого указаны числа, задающие вершине число инцидентных ребер.
5. Для исходного неориентированного графа выделить компоненты связности, для каждой компоненты связности найти величину диаметра и радиуса, определить вершины, являющиеся ее центрами.
6. В исходном неориентированном графе найти все ребра, являющиеся мостами этого графа.
7. В исходном графе найти все вершины, являющиеся точками сочленения этого графа.
8. Определить, является ли исходный неориентированный граф деревом. Если да, то найти центр (или два центра) этого дерева и вывести поуровневое (относительно центра) описание этого дерева.
9. Определить, является ли исходный ориентированный граф ориентированным деревом. Если да, то зафиксировать его начальную вершину и вывести поуровневое описание этого дерева.
10. Определить, является ли исходный неориентированный граф эйлеровым графом, и если да, то построить для него один из эйлеровых циклов.
11. Определить, является ли исходный ориентированный граф эйлеровым графом, и если да, то построить для него один из ориентированных эйлеровых циклов.
12. В исходном неориентированном графе выделить все максимальные полные подграфы.
13. Разработать алгоритм нахождения кратчайшего расстояния между двумя вершинами (взвешенного) ориентированного графа.
14. Найти все минимальные простые циклы в заданном неориентированном графе.
15. Раскрасить граф минимальным числом цветов.
16. Дан неориентированный граф, реализовать процедуру, которая строит смежностный граф для заданного.

2 ПРИНЦИПЫ ОБРАБОТКИ ГРАФОВЫХ СТРУКТУР В ТРАДИЦИОННЫХ КОМПЬЮТЕРАХ

Содержание занятия: представление графовых структур в памяти традиционных компьютеров.

2.1 Теоретические сведения

Рассмотрим основные подходы к представлению графовых структур в памяти традиционных компьютеров:

- матрица инцидентности;
- список ребер (список инцидентности);
- матрица смежности;
- список смежности.

Матрица инцидентности и список ребер. Задать граф – значит описать множества его вершин и ребер, а также отношение инцидентности. Когда граф G – конечный, для описания его вершин и ребер достаточно их занумеровать. Пусть v_1, v_2, \dots, v_n – вершины графа G ; e_1, e_2, \dots, e_t – его ребра. Отношение инцидентности можно определить матрицей $\|\varepsilon_{ij}\|$, имеющей m строк и n столбцов. Столбцы соответствуют вершинам графа, строки – ребрам. Если ребро e_i инцидентно вершине v_j , то $\varepsilon_{ij} = 1$, в противном случае $\varepsilon_{ij} = 0$. Это так называемая *матрица инцидентности* неориентированного графа G , которая является одним из способов его определения. Для графа на рисунке 1 она дана в таблице 1.

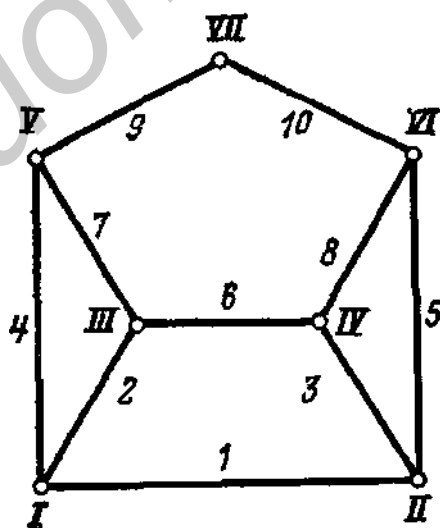


Рисунок 1 – Пример неориентированного графа G

Таблица 1 – Матрица инцидентности графа G

Ребра	Вершины						
	I	II	III	IV	V	VI	VII
1	1	1	0	0	0	0	0
2	1	0	1	0	0	0	0
3	0	1	0	1	0	0	0
4	1	0	0	0	1	0	0
5	0	1	0	0	0	1	0
6	0	0	1	1	0	0	0
7	0	0	1	0	1	0	0
8	0	0	0	1	0	1	0
9	0	0	0	0	1	0	1
10	0	0	0	0	0	1	1

В матрице инцидентности $\|\varepsilon_{ij}\|$ ориентированного графа G, если вершина v_j – начало дуги a_i то $\varepsilon_{ij} = -1$; если v_j – конец a_i , то $\varepsilon_{ij} = 1$; если a_i – петля, а v_j – инцидентная ей вершина, то $\varepsilon_{ij} = \alpha$, где α – любое число, отличное от 1, 0 и -1 ; в остальных случаях $\varepsilon_{ij} = 0$ (пример – таблица 2 для графа на рисунке 2).

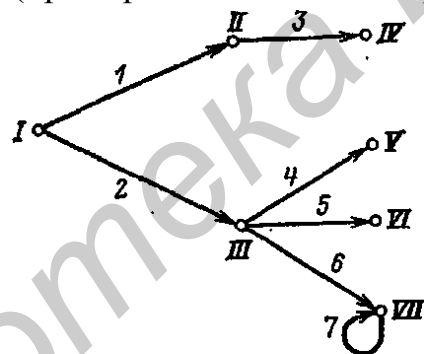


Рисунок 2 – Пример ориентированного графа G

Таблица 2 – Матрица инцидентности графа G

Ребра	Вершины						
	I	II	III	IV	V	VI	VII
1	-1	1	0	0	0	0	0
2	-1	0	1	0	0	0	0
3	0	-1	0	1	0	0	0
4	0	0	-1	0	1	0	0
5	0	0	-1	0	0	1	0
6	0	0	-1	0	0	0	1
7	0	0	0	0	0	0	2

В каждой строке матрицы инцидентности для неориентированного или ориентированного графа только два элемента отличны от 0 (или один, если ребро является петлей). Поэтому такой способ задания графа оказывается недостаточно экономным. Отношение инцидентности можно еще задать *списком ребер* графа. Каждая строка этого списка соответствует ребру, в ней записаны номера вершин, инцидентных ему. Для неориентированного графа порядок этих вершин в строке произволен, для ориентированного – первым стоит номер или наименование начала ребра, а вторым – конца ребра. В таблицах 3 и 4 приводятся списки ребер для графов, изображенных на рисунках 1 и 2 соответственно.

По списку ребер графа легко построить его матрицу инцидентности. Действительно, каждая строка этого списка соответствует строке матрицы с тем же номером. Для неориентированного графа в строке списка указаны номера элементов строки матрицы инцидентности, равные 1, и для ориентированного графа в этой строке первым стоит номер элемента строки матрицы, равного 1, а вторым – номер элемента, равного +1.

Таблица 3 – Список ребер неориентированного графа G

Ребра	Вершины
1	I, II
2	I, III
3	II, IV
4	I, V
5	II, VI
6	III, IV
7	III, V
8	IV, VI
9	V, VII
10	VI, VII

Таблица 4 – Список ребер ориентированного графа G

Ребра	Вершины
1	I, II
2	I, III
3	II, IV
4	III, V
5	III, VI
6	III, VII
7	VII, VII

Матрица смежности графа. Это квадратная матрица $\|\delta_{ij}\|$, столбцам и строкам которой соответствуют вершины графа. Для неориентированного графа δ_{ij} равно количеству ребер, инцидентных i -й и j -й вершинам, для ориентированного графа этот элемент матрицы смежности равен количеству ребер с началом в i -й вершине и концом в j -й. Таким образом, матрица смежности неориентированного графа симметрична ($\delta_{ij}=\delta_{ji}$), а ориентированного – необязательно. Если она все же симметрична, то для каждого ребра ориентированного графа имеется ребро, соединяющее те же вершины, но идущее в противоположном направлении. Ориентированный граф с симметричной матрицей смежности канонически соответствует неориентированному графу, имеющему ту же матрицу смежности.

Матрицы смежности рассмотренных ранее графов (см. рисунки 1, 2) приводятся в таблицах 5 и 6.

Таблица 5 – Матрица смежности неориентированного графа G

Вершины	I	II	III	IV	V	VI	VII
I	0	1	1	0	1	0	0
II	1	0	0	1	0	I	0
III	1	0	0	1	1	0	0
IV	0	1	1	0	0	1	0
V	1	0	1	0	0	0	1
VI	0	1	0	1	0	0	1
VII	0	0	0	0	1	1	0

Таблица 6 – Матрица смежности ориентированного графа G

Вершины	I	II	III	IV	V	VI	VII
I	0	1	1	0	0	0	0
II	0	0	0	1	0	0	0
III	0	0	0	0	1	1	1
IV	0	0	0	0	0	0	0
V	0	0	0	0	0	0	0
VI	0	0	0	0	0	0	0
VII	0	0	0	0	0	0	1

Матрица смежности также определяет соответствующий неориентированный или ориентированный граф. Число его вершин равно размерности матрицы n ; i -й и j -й вершинам графа инцидентны δ_{ij} ребер. Для неориентированного графа $\delta_{ij}=\delta_{ji}$ и все его ребра определяются верхним

правым треугольником матрицы, расположенным над диагональю, включая последнюю. Количество их равно сумме δ_{ij} по этому треугольнику.

Ребра ориентированного графа определяются всеми элементами δ_{ij} матрицы смежности. В обоих случаях по матрице смежности легко строится, например, список ребер, определяющий граф. Элементу матрицы смежности, расположенному в i -й строке и j -м столбце, соответствуют δ_{ij} строк списка ребер (при $\delta_{ij}=0$ – ни одной строки), в каждой из которых записаны номера i, j . Для неориентированного графа эти строки соответствуют только элементам описанного ранее верхнего правого треугольника матрицы смежности, т. е. элементам δ_{ij} с $j \geq i$, а для ориентированного графа нужно рассматривать все элементы δ_{ij} .

Список смежности. Данный способ представления больше подходит для разреженных графов, т. е. графов, у которых количество ребер гораздо меньше, чем количество вершин в квадрате ($|E| \ll |V|^2$).

В данном представлении используется некоторый массив A , содержащий $|V|$ списков. В каждом списке $A[v]$ содержатся все вершины u , так что между v и u есть ребро. Память, требуемая для представления, равна $O(|E| + |V|)$, что является лучшим показателем, чем матрица смежности для разреженных графов.

Главный недостаток этого способа представления в том, что нет быстрого способа проверить, существует ли ребро (u, v) .

2.2 Варианты индивидуальных заданий

Необходимо программно реализовать решение одной из предложенных теоретико-графовых задач, используя один из рассмотренных вариантов представления графовых структур.

Список теоретико-графовых задач:

- I. Определить вид графа:
 - 1) дерево;
 - 2) ациклический граф;
 - 3) полуэйлеров/эйлеров граф;
 - 4) гамильтонов граф;
 - 5) связный граф;
 - 6) сильно-связный граф;
 - 7) двусвязный граф;
 - 8) двудольный неориентированный граф;
 - 9) регулярный, реберно-регулярный неориентированный граф;
 - 10) симметричный, антисимметричный, частично симметричный орграф;

- 11) транзитивный, антитранзитивный, частично транзитивный орграф;
- 12) рефлексивный, антирефлексивный, частично рефлексивный орграф;
- 13) функциональный, контрафункциональный орграф;
- 14) односторонне связный орграф;
- 15) кактус;
- 16) турнир, транзитивный турнир;
- 17) граф паппа;
- 18) планарный граф;
- 19) транзитируемый граф.

II. Определить числовую характеристику графа:

- 1) радиус;
- 2) диаметр;
- 3) средний диаметр;
- 4) полустепени захода/исхода и средние полустепени всех вершин в орграфе;
- 5) минимальную/среднюю/максимальную степень ребра в неориентированном графе;
- 6) число вершинной связности;
- 7) число реберной связности;
- 8) среднее и максимальное расстояние между центральными вершинами неориентированного графа;
- 9) число хорд неориентированного графа;
- 10) минимальное и среднее расстояние между периферийными вершинами неориентированного графа;
- 11) окружение орграфа;
- 12) обхват орграфа;
- 13) число компонент связности неориентированного графа;
- 14) число хадвигера для неориентированного графа;
- 15) определить толщину неориентированного графа;
- 16) индекс компонент относительно простой цепи в неориентированном графе;

III. Операции над графами. Найти:

- 1) декартово произведение двух неориентированных графов;
- 2) декартову сумму двух неориентированных графов;
- 3) прямое (тензорное) произведение двух неориентированных графов;
- 4) сильное произведение двух неориентированных графов;
- 5) композицию двух неориентированных графов;
- 6) модульное произведение двух неориентированных графов;

- 7) большое модульное произведение двух неориентированных графов;
- 8) объединение множества неориентированных графов;
- 9) пересечение множества неориентированных графов;
- 10) дополнение и фактор-дополнение неориентированного графа;
- 11) граф инциденций неориентированного графа;
- 12) реберный граф для неориентированного графа;
- 13) граф смежностей для неориентированного графа;
- 14) тотальный граф для неориентированного графа;
- 15) граф замыкания неориентированного графа;
- 16) граф конденсации для орграфа;
- 17) граф каркасов для неориентированного графа.

IV. Поиск в графе. Найти:

- 1) эксцентризитет каждой вершины в неориентированном графе;
- 2) эйлеров цикл в графе;
- 3) гамильтонов цикл;
- 4) компоненты связности в неориентированном графе;
- 5) сильные компоненты связности в орграфе;
- 6) вершины с указанной степенью;
- 7) минимальный остов в неориентированном графе;
- 8) доли неориентированного графа;
- 9) тупики/антитупики в ориентированном графе;
- 10) максимальный простой разрез;
- 11) минимальный простой разрез;
- 12) множество ребер, удаление которых приводит к увеличению числа компонент связности ориентированного графа;
- 13) точки сочленения неориентированного графа;
- 14) мосты в неориентированном графе;
- 15) множество вершин, удаление которых приводит к увеличению числа компонент связности ориентированного графа;
- 16) циклы указанной длины;
- 17) максимальный путь между заданными вершинами;
- 18) критические пути во взвешенном неориентированном графе;
- 19) множество вершин, удаление которых приводит к увеличению числа компонент связности неориентированного графа;
- 20) простые цепи указанной длины;
- 21) вершины с указанной полустепенью;
- 22) все доминирующие вершины;
- 23) центры графа;

- 24) все периферийные вершины;
 - 25) множество ребер, удаление которых приводит к увеличению числа компонент связности неориентированного графа;
 - 26) звезды с заданным числом листьев;
 - 27) дерево кратчайших путей;
 - 28) n -фактор для указанного графа;
 - 29) подграфы в неориентированном графе, изоморфные графу-образцу;
 - 30) множество различных суграфов неориентированного графа;
 - 31) сформировать множество различных подграфов неориентированного графа;
- V. Приведение графа к указанному виду. Найти:
- 1) минимальное множество вершин неориентированного графа, удаление которых позволяет сделать его деревом;
 - 2) минимальное множество ребер неориентированного графа, удаление которых позволяет сделать его деревом;
 - 3) минимальное множество вершин неориентированного графа, удаление которых позволяет сделать его планарным;
 - 4) минимальное множество ребер графа, удаление которых позволяет сделать его планарным.

3 ОСНОВЫ ФОРМАЛИЗАЦИИ ЗНАНИЙ

Содержание занятия: представление простейших видов знаний в памяти интеллектуальных систем.

3.1 Теоретические сведения

В рамках данного занятия необходимо формализовать на языке семантических сетей фактографическое высказывание согласно варианту индивидуального задания. Более подробную информацию о принципах формализации на языке SC можно получить на лекциях и в литературе.

Пример (рисунок 3)

Дана равнобедренная трапеция, основания которой a , b равны 9 и 21 см соответственно, высота h равна 8 см. Вокруг трапеции описана окружность радиусом x см.

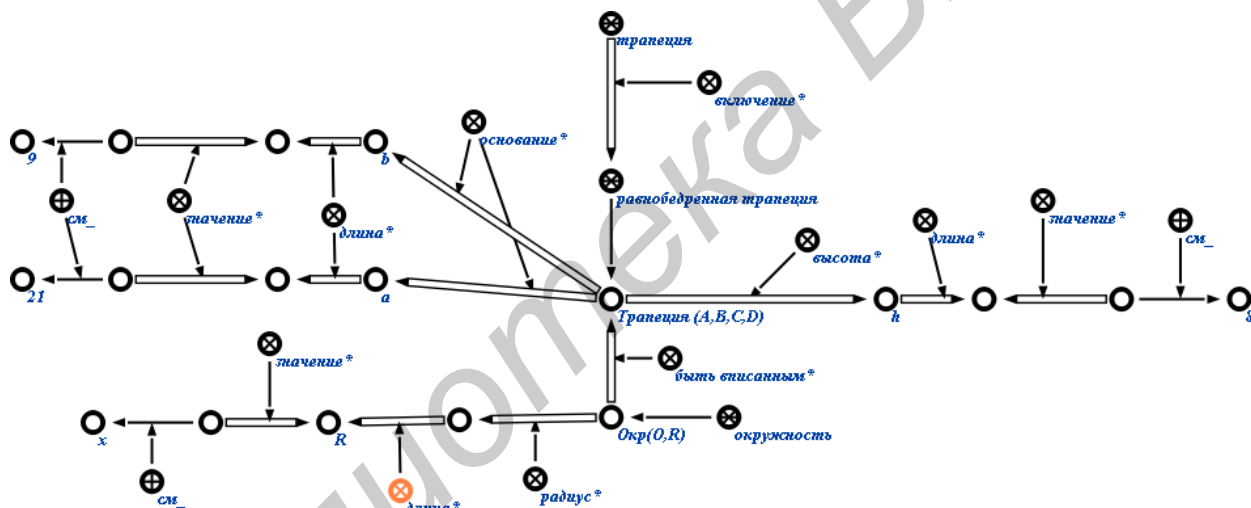


Рисунок 3 – Пример фактографического высказывания

3.2 Варианты индивидуальных заданий

1. Медиана АМ треугольника АВС равна половине стороны ВС. Угол между АМ и высотой АН равен 40° .
2. На одной стороне угла с вершиной О взята точка А, а на другой – точки В и С , причем точка В лежит между О и С . Проведена окружность с центром О1, вписанная в треугольник ОАВ , и окружность с центром О2, касающаяся стороны АС и продолжений сторон ОА и ОС треугольника АОС.
3. Диагонали выпуклого четырехугольника ABCD пересекаются в точке Е, $AB = AD$, CA – биссектриса угла С, угол $BAD = 140^\circ$, угол $BEA = 110^\circ$.

4. Дано окружность с центром О. На продолжении хорды АВ за точку В отложен отрезок ВС, равный радиусу. Через точки С и О проведена секущая CD (D – точка пересечения с окружностью, лежащая вне отрезка CO).
5. В треугольнике ABC известны углы: $A = 45^\circ$, $B = 15^\circ$. На продолжении стороны AC за точку C взята точка M, причем $CM = 2AC$.
6. В треугольнике ABC угол C – тупой, биссектриса BE угла B делит сторону AC на отрезки $AE = 3$, $EC = 2$. Известно, что точка K, лежащая на продолжении стороны BC за вершину C, является центром окружности, проходящей через точки C, E и точку пересечения биссектрисы угла B с биссектрисой угла ACK.
7. Треугольники ABC и ADC имеют общую сторону AC, стороны AD и BC пересекаются в точке M. Углы B и D равны по 40° . Расстояние между вершинами D и B равно стороне AB, угол AMC = 70° .
8. Биссектрисы треугольника ABC пересекаются в точке O. Через точку O проходят две прямые, которые параллельны прямым AB и AC и пересекаются с BC в точках D и E. Периметр треугольника OED равен отрезку BC.
9. В треугольнике ABC известно, что $AB = BC$, $AC = 10$. Из точки D, являющейся серединой AB, проведен перпендикуляр DE к стороне AB до пересечения со стороной BC в точке E. Периметр треугольника ABC равен 40.
10. В равнобедренном треугольнике с основанием AC проведена биссектриса угла C, которая пересекает боковую сторону AB в точке D. Точка E лежит на основании AC так, что DE перпендикулярна DC.

4 ПРЕДСТАВЛЕНИЕ ГРАФОВЫХ СТРУКТУР В ИНТЕЛЛЕКТУАЛЬНЫХ СИСТЕМАХ

Содержание занятия: представление графовых структур и отношений на них в виде семантических сетей.

4.1 Теоретические сведения

В рамках данного занятия необходимо выделить абсолютные и относительные понятия для своей теоретико-графовой задачи, вариант которой был выбран в занятии 2. Список понятий должен включать не только непосредственно необходимые понятия для решения вашей задачи, но и те, на основе которых они определены. Таким образом, выделяется целая иерархия понятий, для каждого из них разрабатывается способ представления его экземпляров в SC-коде.

Для данного занятия необходимо подготовить отчет в электронном варианте о проделанной работе, который должен содержать следующее:

- 1) перечень выделенных понятий со следующей информацией:
 - a) название понятия;
 - b) абсолютное или относительное;
 - c) определение на естественном языке;
 - d) пример представления экземпляра понятия в SC-коде на SCg;
- 2) пять примеров на SCg исходных и выходных данных для вашей программы.

Для рисования SCg-текстов необходимо использовать редактор KBE (Knowledge Base Editor). Установочный файл и zip-архив собранной версии под Windows находятся на кафедральном информационном сервере, где также лежит пример отчета по данному этапу работы.

4.1.1 Формализация понятий «неориентированный» и «ориентированный» граф

Неориентированный граф G (рисунок 4):

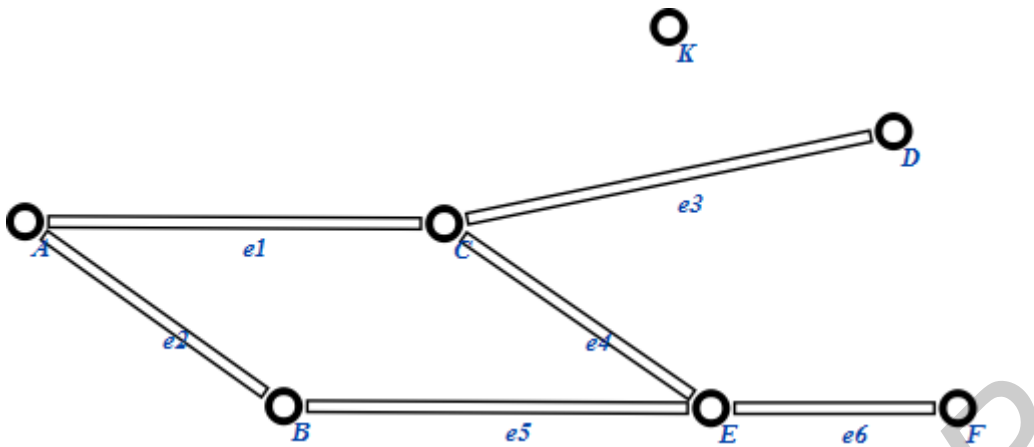


Рисунок 4 – Неориентированный граф G (представление не на SCg)

Граф G, расписанный классическим способом на языке теории множеств, будет выглядеть так:

$$\begin{aligned} G &= \langle Vg, Eg \rangle; \\ Vg &= \{A, B, C, E, D, F, K\}; \\ Eg &= \{\{A, B\}, \{A, C\}, \{C, E\}, \{C, D\}, \{B, E\}, \{E, F\}\}. \end{aligned} \quad (1)$$

4.1.2 Перевод записи в SC-код

Для представления неориентированного графа в SC-код вводится абсолютное понятие *неориентированный граф* (в дальнейшем будем использовать такое форматирование для идентификации sc-элементов в тексте). Теперь можно преобразовать запись на языке множеств, задающую граф G, в SCg-конструкцию, которая изображена на рисунке 5.

Приведенный выше способ задания графа на языке классической теории множеств является распространенным, но с использованием SC-кода можно найти другую форму, так как есть возможность задавать ролевые отношения. Поэтому вводятся два относительных понятия (ролевых отношений): *вершина'* и *ребро'*. Тогда можно сформулировать, что неориентированный граф задается множеством объектов, в которых объект с ролью *вершина'* является вершиной графа, а объект с ролью *ребро'* – ребром графа. На языке теории множеств, расширенном возможностью задавать атрибуты (роли) у элементов кортежа, граф G будет задаваться выражением (2).

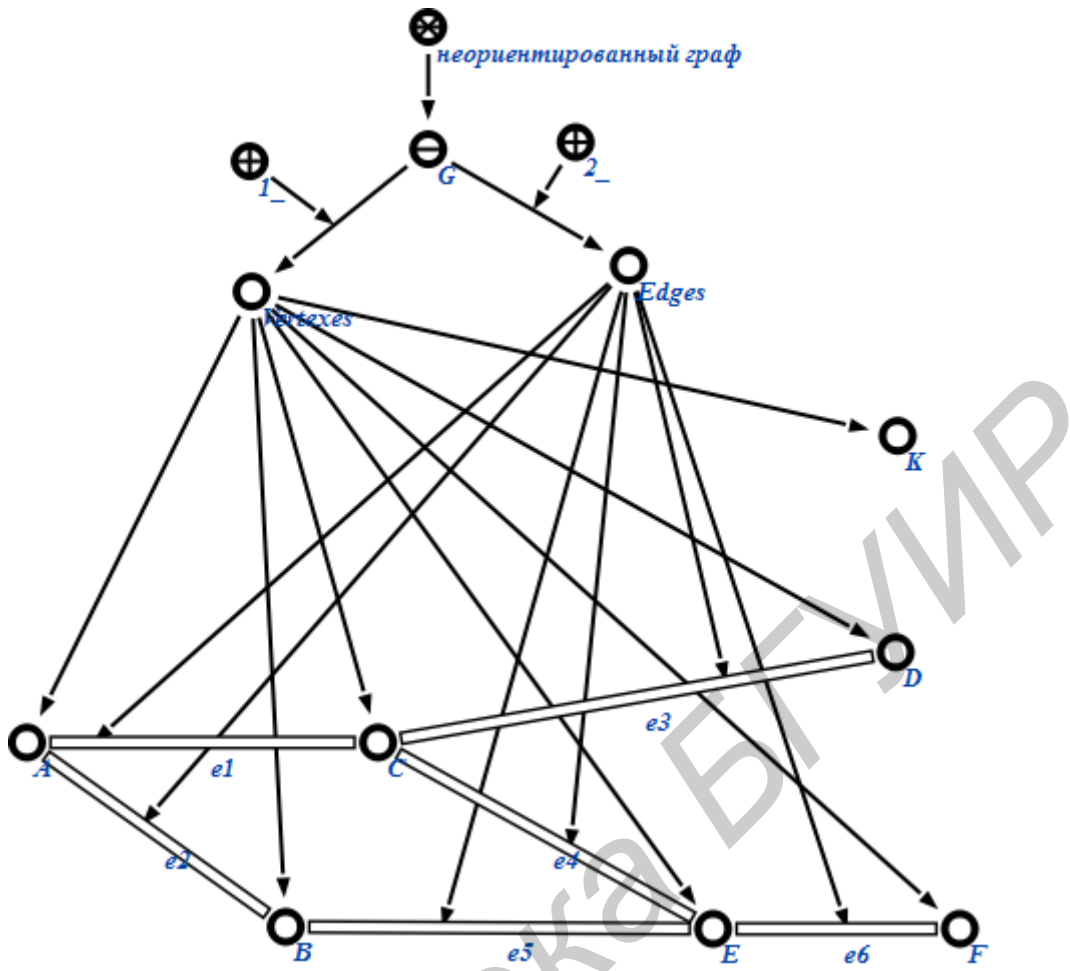


Рисунок 5 – Классический способ задания неориентированного графа G на SCg

$$\begin{aligned}
 G = & \langle \text{вершина}' : A, \text{вершина}' : B, \text{вершина}' : C, \\
 & \text{вершина}' : E, \text{вершина}' : D, \text{вершина}' : F, \text{вершина}' : K, \\
 & \text{ребро}' : \{A, B\}, \text{ребро}' : \{A, C\}, \text{ребро}' : \{C, E\}, \\
 & \text{ребро}' : \{C, D\}, \text{ребро}' : \{B, E\}, \text{ребро}' : \{E, F\} \rangle. \tag{2}
 \end{aligned}$$

Перевод выражения (2) в SCg показан на рисунке 6.

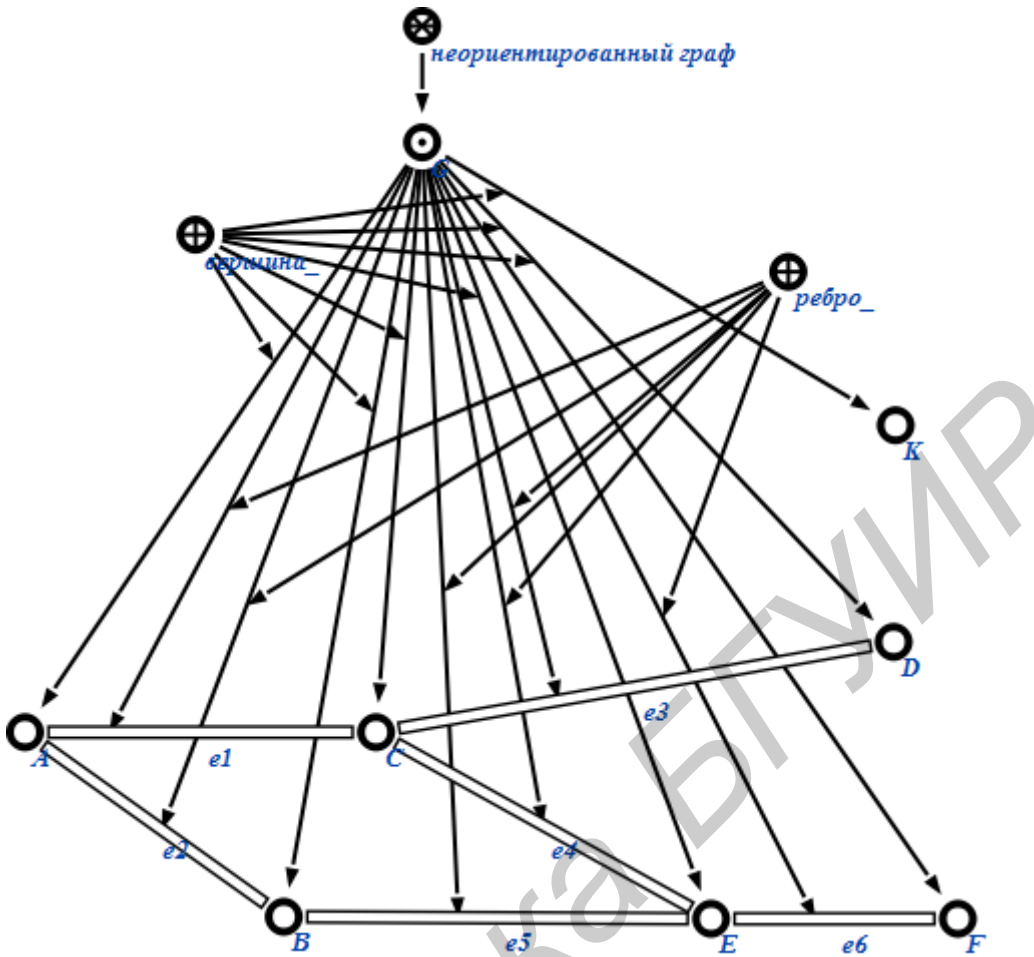


Рисунок 6 – Основной способ задания графа G на SCg

Тип SCg-узла используется для обозначения sc-структуры, т. е. множества объектов, которые могут выступать как целое. Объекты, которые входят в sc-структуру, при совместном рассмотрении порождают некоторое новое качество. Рассмотрим это через сравнение множества *неориентированный граф* с множеством G, которое является конкретным неориентированным графом.

Множество *неориентированный граф* является sc-понятием (абсолютным), т. е. sc-множеством, все элементы которого обладают некоторым заданным свойством. В случае sc-понятия *неориентированный граф* его элементы должны обозначать неориентированные графы.

Предположим, в множестве *неориентированный граф* есть 5 элементов (неориентированных графов). Добавим в это множество еще 5 неориентированных графов. При добавлении элементов мощность множества изменилась, но качественно множество неориентированного графа осталось таким же. Этот факт лаконично можно выразить следующим образом: количество элементов множества, которое является sc-понятием, никогда не переходит в качество.

Множество G – это sc-множество, составленное из sc-элементов, которые вместе обладают некоторой целостностью, имеющей важные свойства (они образуют неориентированный граф только в том случае, если рассмотрены как единое целое). Если добавить в множество G новый элемент (вершину или ребро), то получится уже другой граф. Таким образом, можно заключить, что количество элементов для множества G переходит в качество. Множества, для которых выполняется это свойство, являются sc-структурами.

Стоит отметить, что связки также являются структурами. Однако неориентированный граф G , не только обозначает сам факт существования связи между объектами, но и включает связки между своими собственными элементами. Такие структуры, как граф G , не являются связками, назовем их одноуровневыми реляционными структурами. Способ представления графов в виде одноуровневых реляционных структур используется в проекте базы знаний по теории графов технологии OSTIS (OSTIS GT), поэтому ниже будет рассмотрен только этот способ, и в рамках практического занятия должен использоваться именно этот метод.

Представим ориентированный граф на SCg. Для этого преобразуем неориентированный граф G в ориентированный граф G_d (рисунок 7).

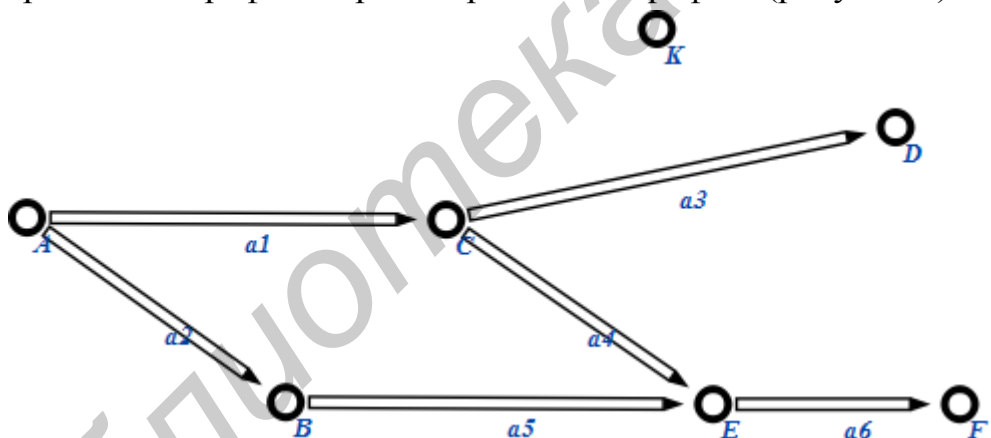


Рисунок 7 – Ориентированный граф G_d (представление не на SCg)

Для представления G_d на SCg вводится абсолютное понятие *ориентированный граф* и относительное понятие (ролевое отношение) *дуга'*. С использованием этих понятий граф G_d на SCg можно представить так, как показано на рисунке 8.

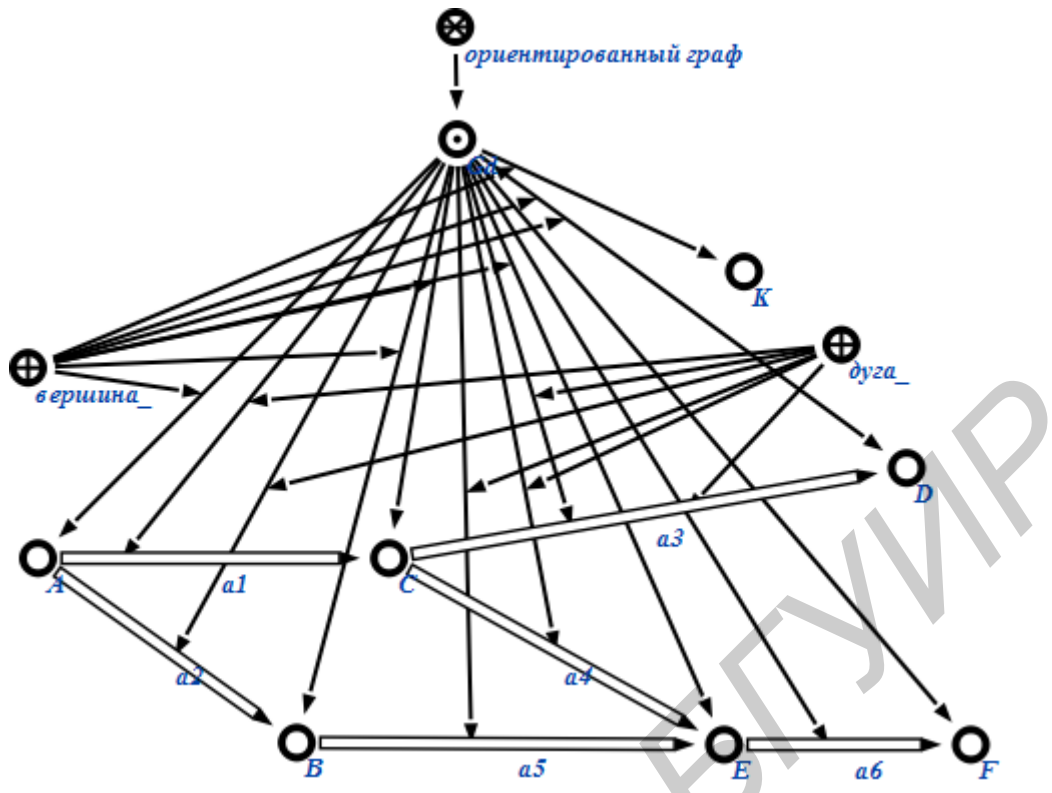


Рисунок 8 – Ориентированный граф G_d на SCg

Если сравнить запись графа G (см. рисунок 6) на SCg и графа G_d (см. рисунок 8), то видим, что разница только в использовании:

- 1) узла *ориентированный граф* вместо *неориентированный граф*;
- 2) узла *дуга'* вместо *ребро'*;
- 3) ориентированных дуг общего вида вместо неориентированных.

Можно заметить, что графы на SCg с использованием ролевых отношений *вершина'* и *ребро'* получаются очень громоздкими, поэтому в дальнейших объяснениях для представления неориентированных и ориентированных графов будет использоваться сокращенная запись. С использованием сокращенной записи граф G , заданный на рисунке 6, мы будем задавать так, как показано на рисунке 9. Данная запись представлена исключительно для облегчения восприятия человеком, для машины является важным наличие опущенных атрибутов.

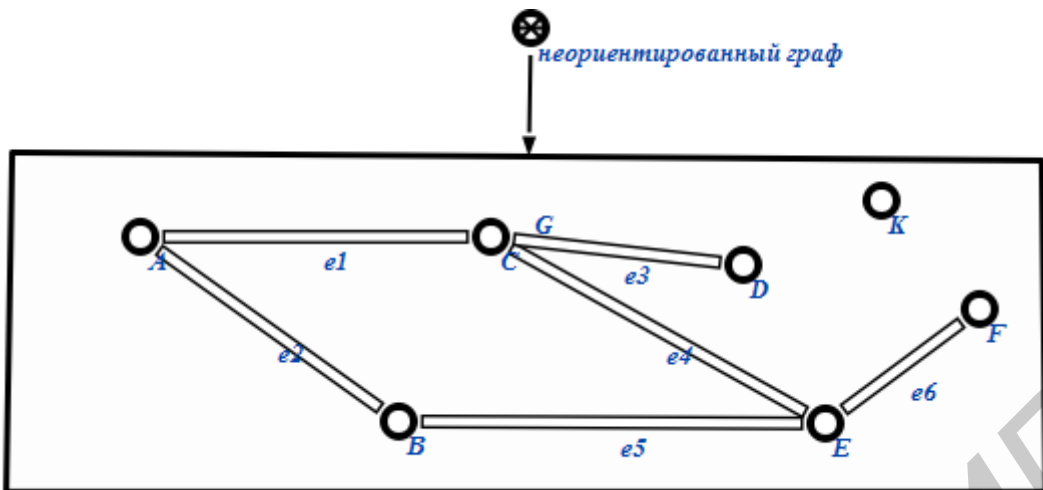


Рисунок 9 – Сокращенная форма задания графа G на SCg

Таким образом, мы рассмотрели способ формализации с использованием семантических сетей неориентированного и ориентированного графов. Далее будет рассмотрен способ формализации минимального пути – второго понятия, необходимого для решения задачи.

4.1.3 Формализация понятия «минимальный путь»

Рассмотрим более подробно понятие «маршрут».

Маршрутом в графе G называется чередующаяся последовательность вершин и ребер $v_0, x_1, v_1, \dots, v_{n-1}, x_n, v_n$. Эта последовательность начинается и кончается вершиной, и каждое ребро последовательности инцидентно двум вершинам, одна из которых непосредственно предшествует ему, а другая непосредственно следует за ним. Указанный маршрут соединяет вершины v_0 и v_n , и его можно обозначить v_0, v_1, \dots, v_n (наличие ребер подразумевается). Маршрут называется цепью, если все его ребра различны, и простой цепью (путем), если все вершины (а следовательно, и ребра) различны.

Таким образом, путь – это маршрут, поэтому будет рассматриваться именно это более общее понятие.

Очевидно, маршрут – это относительное понятие, так как конкретный маршрут существует в связи с конкретным графом. Поэтому для представления маршрутов вводится бинарное ориентированное отношение *маршрут**. Первым компонентом связки этого отношения будет знак графа, а вторым – знак структуры маршрута. Пример связки приведен на рисунке 10.

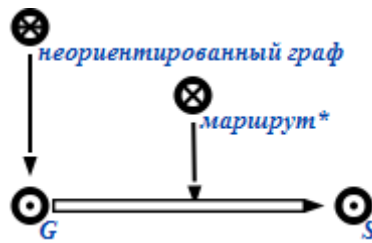


Рисунок 10 – Пример связки отношения *маршрут**

Теперь нам необходимо выяснить, из чего же состоит структура S на рисунке 10. Для этого рассмотрим в графе G (см. рисунок 9) маршрут R между вершинами A и F , который задается последовательностью $A, e_2, B, e_5, E, e_6, F$ (это один из минимальных путей между A и F). Если маршрут состоит из вершин и ребер, то его можно представить как подграф графа, на котором задается маршрут.

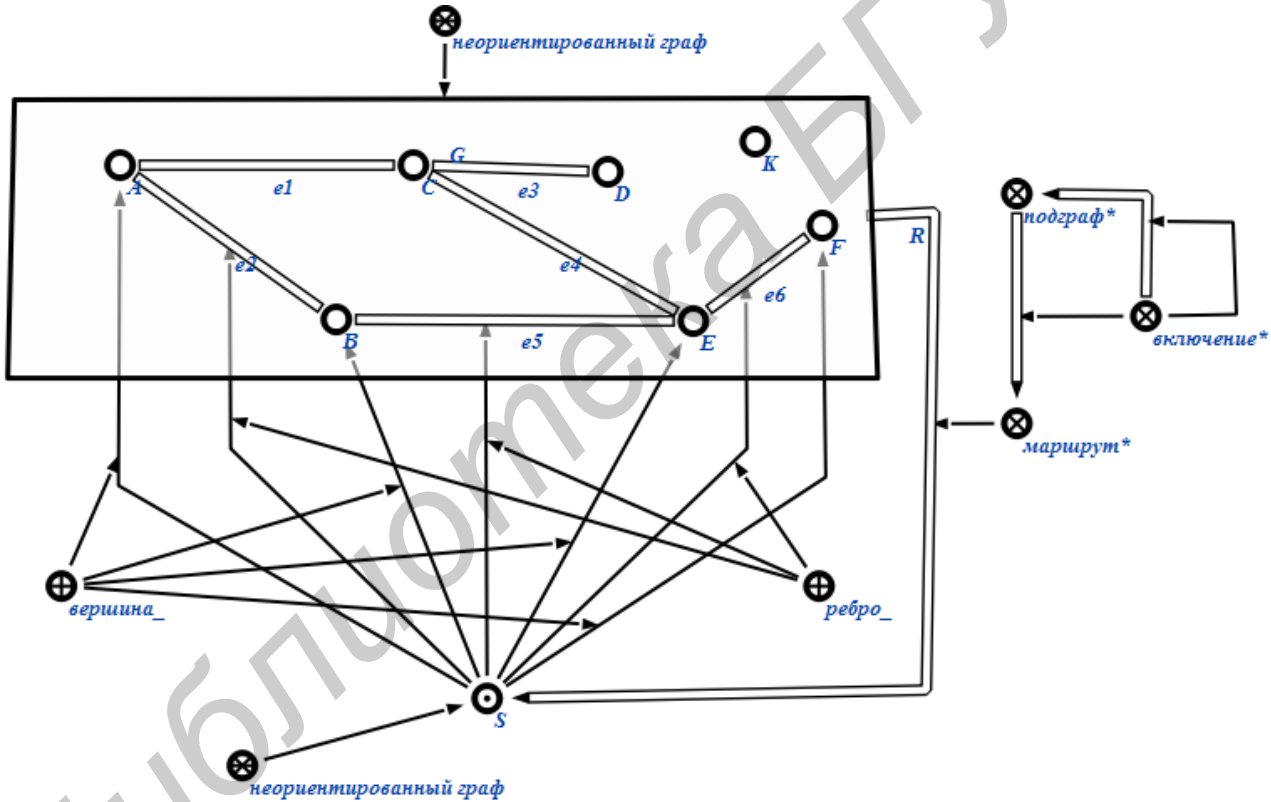


Рисунок 11 – Представление маршрута как подграфа графа G

На рисунке 11 появилось бинарное ориентированное отношение *подграф**, суть которого есть связывание одного графа с другим, который является подграфом первого. Также из рисунка 11 можно заметить, что отношение *включение** содержит отношение *подграф**, т. е. *подграф** – аналог *включения**, но только для графов. А отношение *маршрут** является подмножеством отношения *подграф**. Таким образом, граф структуры S является подграфом исходного графа G .

Теперь можно попробовать нарисовать SCg-конструкцию, которая задаст маршрут A, e₂, B, e₅, E, e₄, C, e₁, A, e₂, B.

На рисунке 11 представлен не путь, потому что вершины и ребра повторяются, но это допустимый маршрут. На рисунке 12 повторяющиеся вершины и ребра имеют более светлый оттенок. Поэтому переходим к поиску способа задать структуру второго компонента связки отношения *маршрут** (структуре S на рисунке 10).

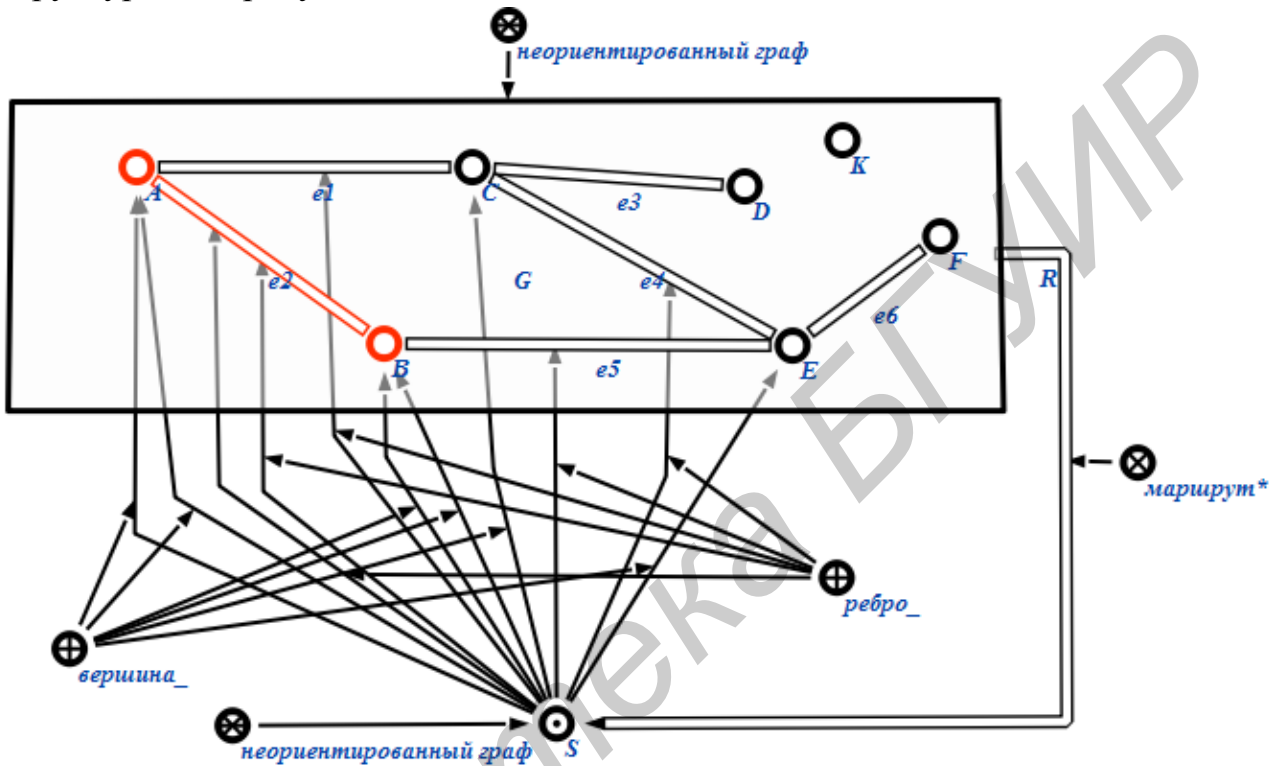


Рисунок 12 – Проблема представления маршрута как подграфа графа G

Вернемся к рассмотрению маршрута R в графе G. Тогда в основу способа представления положили, что маршрут состоит из вершин и ребер и он есть подграф графа, на котором задается. Может быть, слабость этого подхода была в том, что не рассматривался маршрут как последовательность вершин и ребер, т. е. не был задан порядок. Зададим последовательность элементов маршрута, например, при помощи ориентированного графа. Вершинами такого графа будут элементы последовательности, а дуги будут задавать отношение предыдущий/следующий. Первый элемент последовательности специально не указан, потому что первым элементом является вершина, в которую нет входящих дуг. Последним элементом последовательности будет вершина, из которой нет исходящих дуг. Этот способ представления маршрута R показан на рисунке 13 (элементы маршрута обозначены темными линиями, связки следующий/предыдущий – светлыми).

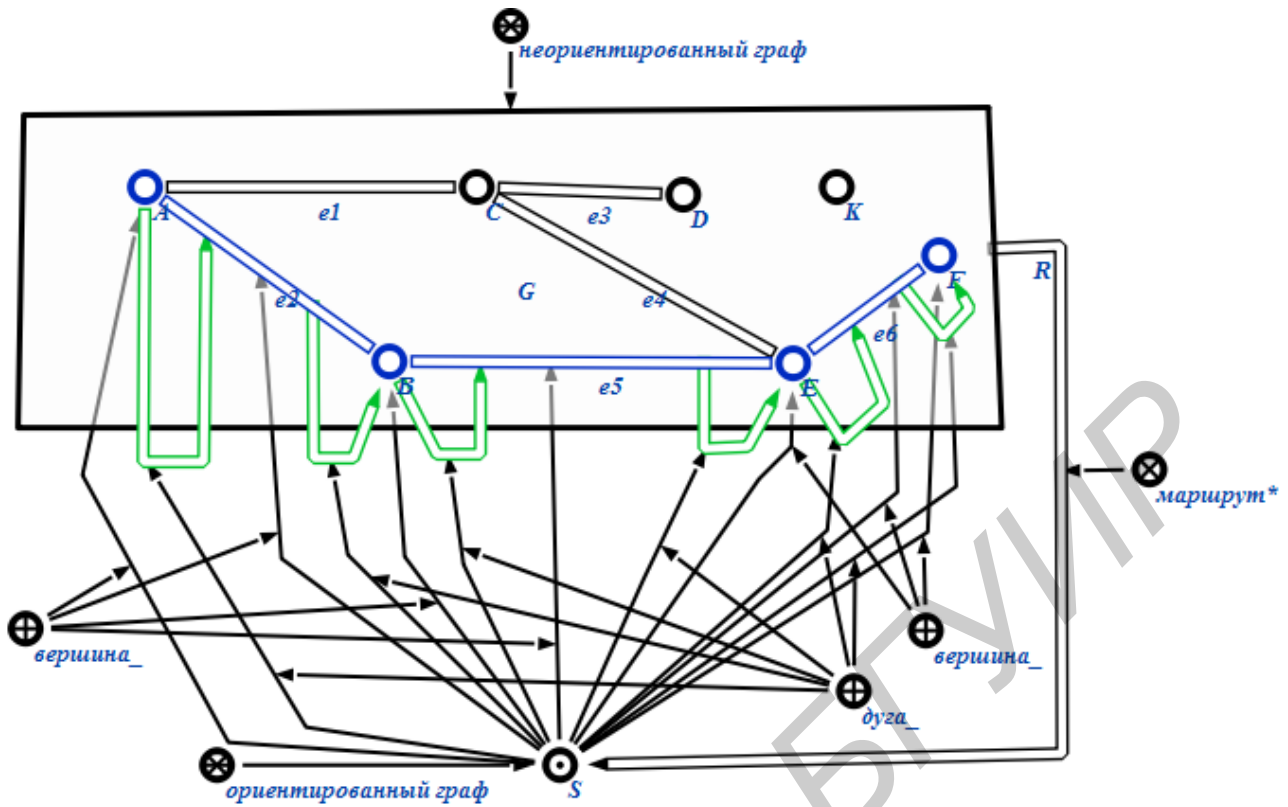


Рисунок 13 – Представление маршрута через ориентированный граф последовательности

Но, даже используя новый способ представления, нельзя задать маршрут, который не является цепью или простой цепью (путем). Новый способ представления все равно ограничен.

В определении маршрута сказано, что маршрут состоит из вершин и ребер. Но при более строгом рассмотрении оказывается, что это не совсем так. Мы нашли два ограниченных способа для представления маршрута, пользуясь буквально этим определением, а задачу еще не решили. Возможно, маршрут состоит не из последовательности вершин и ребер, а из последовательности посещений вершин и ребер. Рассмотрим именно такую точку зрения. Тогда можно преобразовать ориентированный граф последовательности S из рисунка 13 в ориентированный граф посещений S на рисунке 14. Вершина графа S на рисунке 14 обозначает посещение вершины графа G , а дуга графа S – посещение ребра графа G .

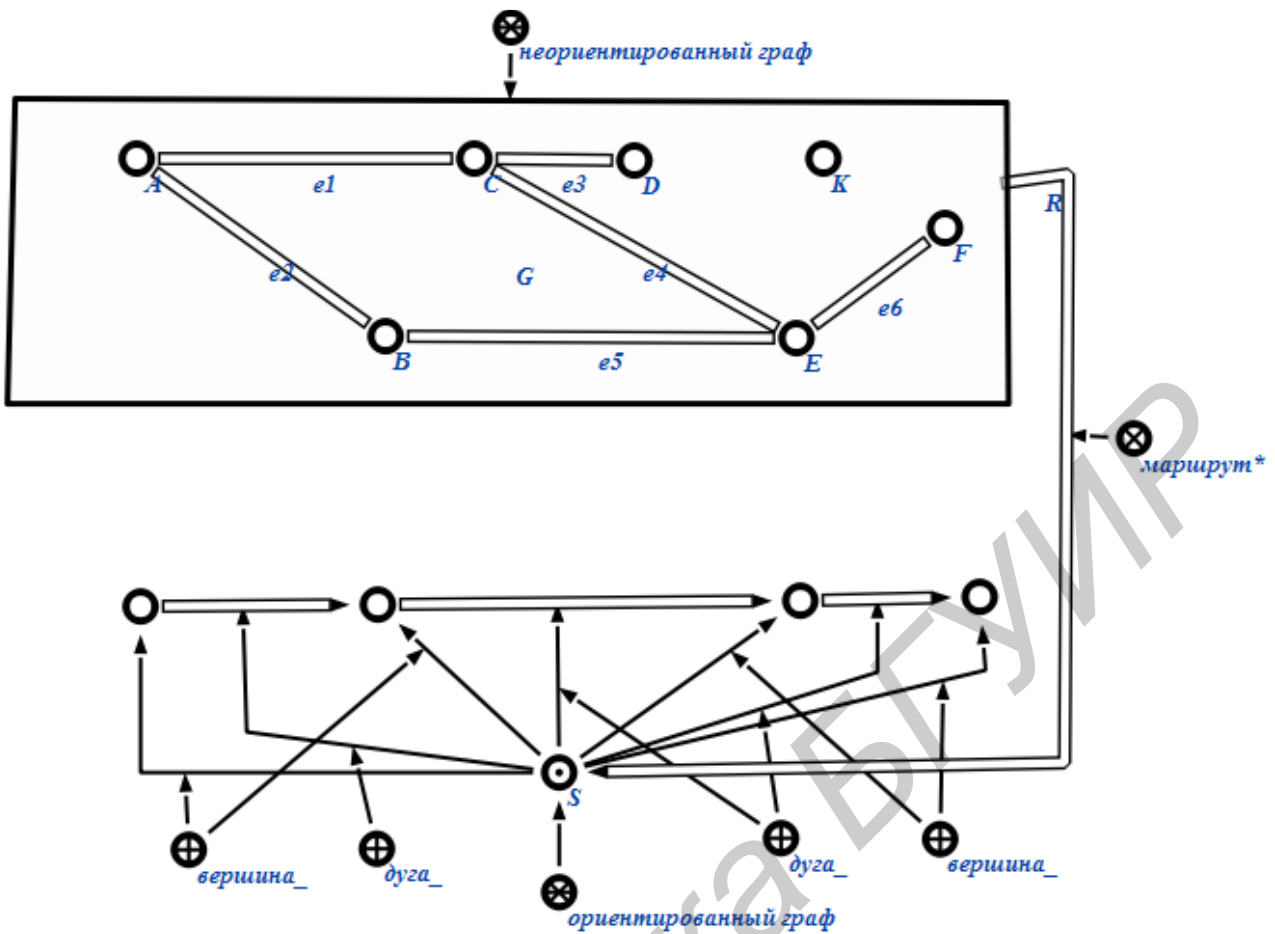


Рисунок 14 – Представление структуры S маршрута R как ориентированного графа посещений

На рисунке 14 не хватает только связей между элементами посещения из графа S и посещенными элементами из графа G . Для того чтобы можно было закончить конструкцию рисунка 13, необходимо дополнить соответствие между двумя множествами.

Введем относительное понятие (тернарное отношение) *соответствие**, связка которого включает следующие три компонента (пример связки на рисунке 15):

- 1) множество, которое является областью определения соответствия (множество X);
- 2) множество, которое является областью значений соответствия (множество Y);
- 3) бинарное ориентированное отношение, которое устанавливает соответствие между элементом из области определения и элементом из области значения (отношение Cr^*).

Рассмотрим маршрут R как всюду определенное, функциональное соответствие между ориентированным графом (структурой маршрута) S и неориентированным исходным графом G . Тогда на основе рисунков 14 и 15 построим окончательный вариант представления маршрута R (рисунок 16). Рассмотрим отличия рисунка 16 от рисунка 14:

1. Для наглядности упрощен ориентированный граф S (скрыты узлы *вершина'* и *дуга'*).
2. Показано, что отношение *маршрут** является подмножеством отношения *соответствие**.
3. В связке R первым компонентом является граф S , а вторым – граф G . На рисунке 14 было наоборот. Чтобы понять, почему связка оказалась перевернутой, рассмотрим рисунок 15. Видно, что первым компонентом связки отношения *соответствие** должно быть множество, которое является областью определения, а вторым – множество, которое является областью значения. Именно поэтому произошла такая перестановка.
4. Появилось отношение (третий компонент связки R), которое задает соответствие между посещением и посещенным элементом. Обратите внимание на направление бинарных ориентированных пар этого отношения.

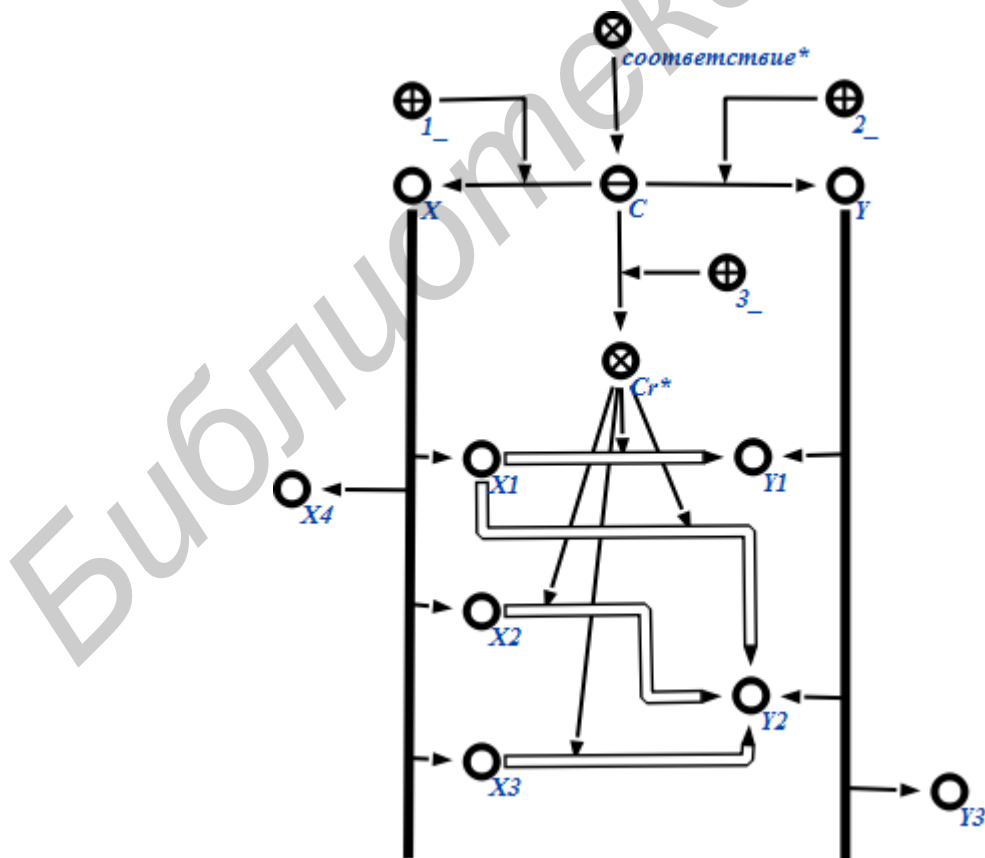


Рисунок 15 – Пример связки С отношения *соответствие** между множествами X и Y

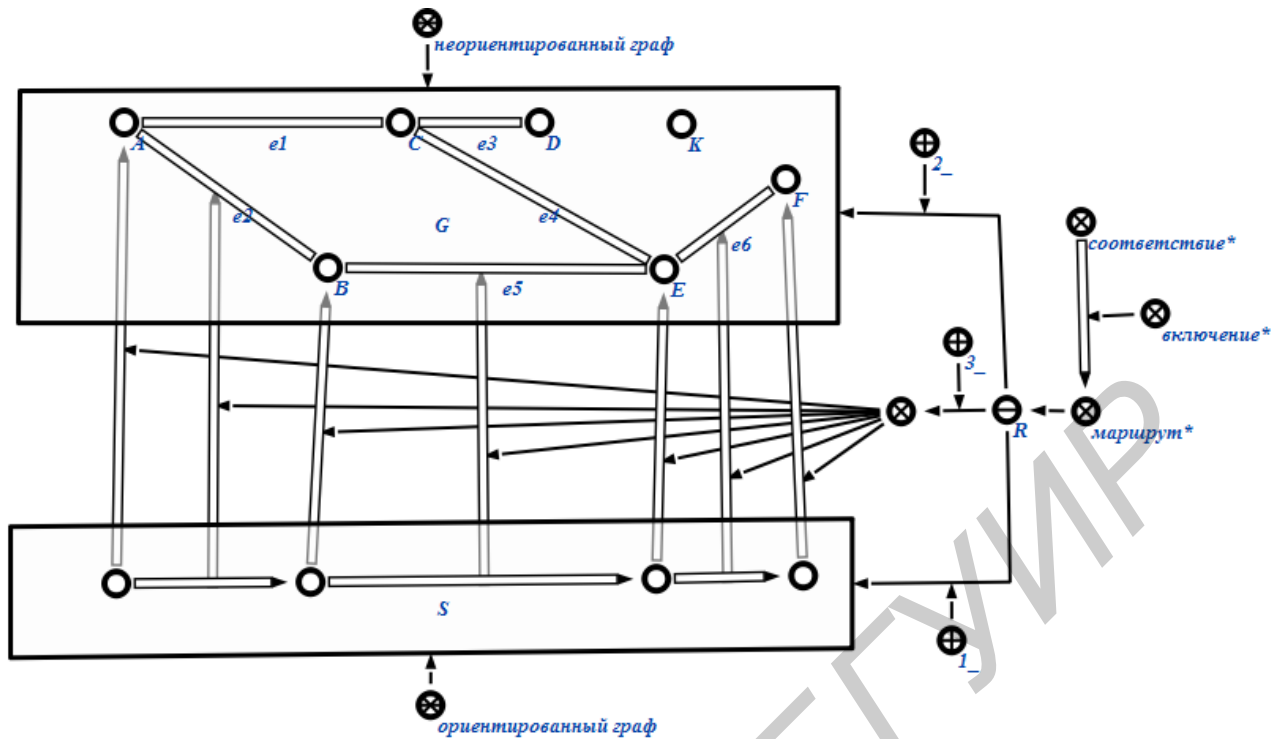


Рисунок 16 – Окончательный вариант представления маршрута R , как соответствия между графом S и графом G

Попробуем представить при помощи данного способа (рисунок 16) маршрут, в котором есть повторяющиеся вершины и/или ребра. Введем относительные понятия (бинарные ориентированные отношения) *цепь** и *путь**, которые связаны с отношением *маршрут** так, как показано на рисунке 17.

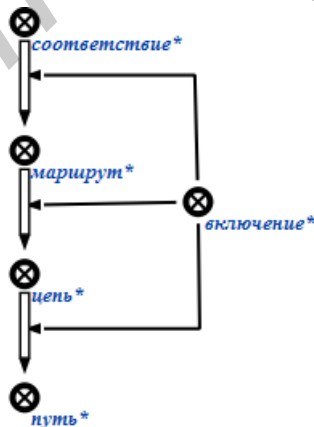


Рисунок 17 – Связь отношений *цепь** и *путь** с отношением *маршрут**

Тогда один из минимальных путей R ($A, e_2, B, e_5, E, e_6, F$) в графе G между вершинами A и F будет представляться в SC-коде так, как показано на рисунке 18.

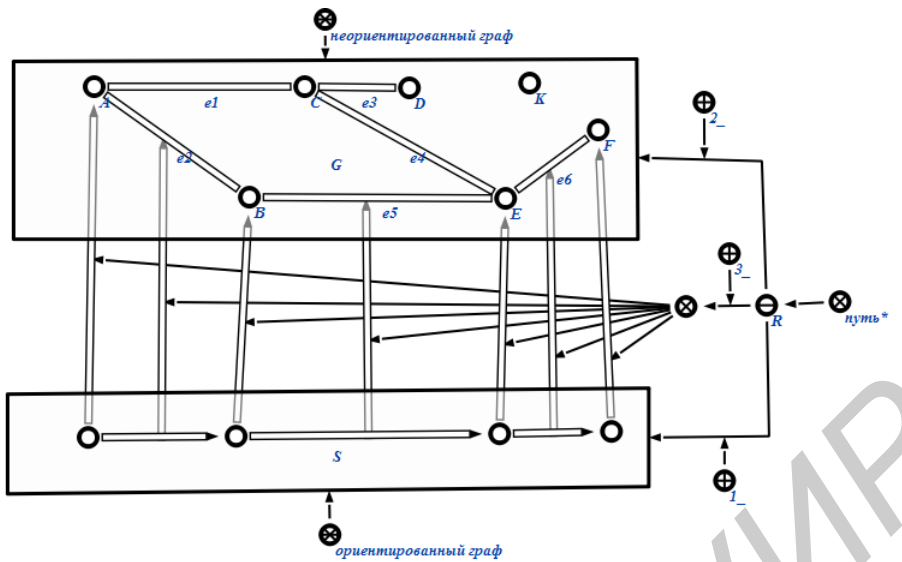


Рисунок 18 – Один из минимальных путей R между вершинами A и F графа G

Теперь перейдем к тому, как можно обобщить представление различных видов графов в SC-коде.

4.1.4 Обобщение различных видов графов с использованием понятия графовой структуры

В пункте 4.1.3 было дано представление наиболее общего понятия по отношению к понятию *путь**, а именно – маршрута. Таким образом, с определением кодирования понятия *маршрут** было определено и кодирование понятия *путь**. А в пункте 4.1.2 при рассмотрении неориентированных и ориентированных графов было дано только то, что необходимо для решения задачи, без характеристики более общих случаев. Теперь необходимо посмотреть на задачу представления графов в SC-коде более широко. Для этого стоит обратиться к базе знаний по теории графов из проекта OSTIS GT. Неполная иерархия различных типов графов из этой базы знаний изображена на рисунке 19. Узлы ориентированного и неориентированного графов составляют только «низ» иерархии, так как определены на основе более общих понятий. А начнем рассматривать иерархию с «верхом», а именно, с понятия *графовая структура*.

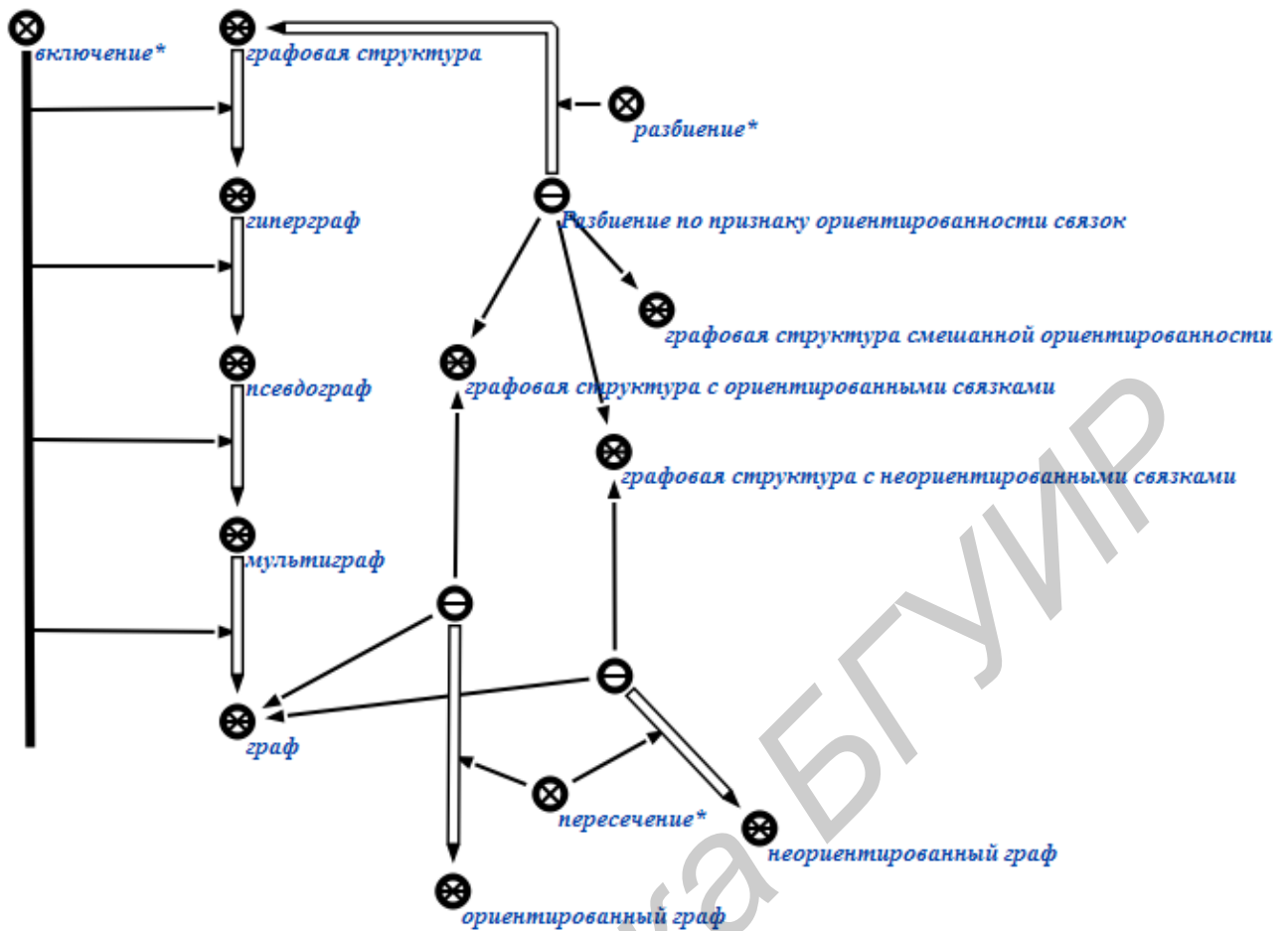


Рисунок 19 – Иерархия различных типов графовых структур (неполная)

Экземпляр понятия *графовая структура* – это такая одноуровневая реляционная структура, которая содержит объекты с ролью *вершина'*, а связи между этими объектами – с ролью *связка'*. На элементы с ролью *связка'* *графовой структуры* не накладывается ограничений, как на элементы с ролью *ребро'* *неориентированного графа*, а именно:

- они могут быть любой арности, а не только бинарными;
- они могут быть как ориентированными, так и неориентированными;
- их компонентами могут быть не только вершины, но и другие связки (т. е. разрешены связки, «выходящие» из связок, и связки, входящие в другие связки).

На рисунке 20 приведен пример графовой структуры G_s , в которой четыре вершины и три связки. Графовая структура вполне может включать элементы с ролью *ребро'*. Понятие *связка'* более общее, чем *ребро'*. Чтобы лучше увидеть связь между этими ролевыми отношениями, рассмотрите рисунок 21, на котором изображена иерархия ролевых отношений элементов графовой структуры из базы знаний по теории графов. Теперь перейдем к краткому описанию абсолютных понятий *гиперграф*, *псевдограф*, *мультиграф* и *граф*.

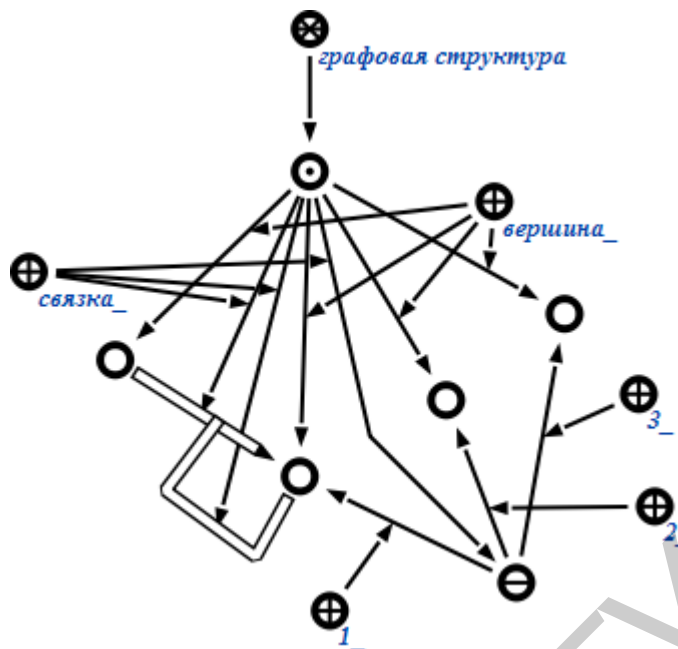


Рисунок 20 – Пример графовой структуры G_s

Экземпляр понятия *гиперграф* (см. рисунок 19) – это такая графовая структура, в которой элемент с ролью *связка'* может иметь в качестве своих компонент только элемент с ролью *вершина'* этой графовой структуры. Нарность связок никакого ограничения не накладывается. Для указания связки введены ролевые отношения *гиперсвязка'*, *гипердуга'*, *гиперребро'* (рисунок 21). Обратите внимание на то, что на рисунке 21 *гипердуга'* определена как пересечение понятий *гиперсвязка_* и ориентированная связка. Аналогично дела обстоят с понятием *гиперребро'*.

Экземпляр понятия *псевдограф* (см. рисунок 19) – это такой гиперграф, в котором гиперсвязка может иметь только две компоненты. Для указания связки введены ролевые отношения *бинарная связка'*, *петля'*, *дуга'*, *ребро'* (см. рисунок 21). Петлей называется бинарная связка, у которой оба компонента одинаковы.

Экземпляр понятия *мультиграф* (см. рисунок 19) – это такой псевдограф, в котором не может быть петель.

Экземпляр понятия *граф* (см. рисунок 19) – это такой мультиграф, в котором не может быть кратных связок, т. е. связок, у которых первая и вторая компоненты совпадают.

А теперь самостоятельно на основе рисунка 19 рассмотрите то, как определены уже знакомые вам понятия *ориентированный граф* и *неориентированный граф*.

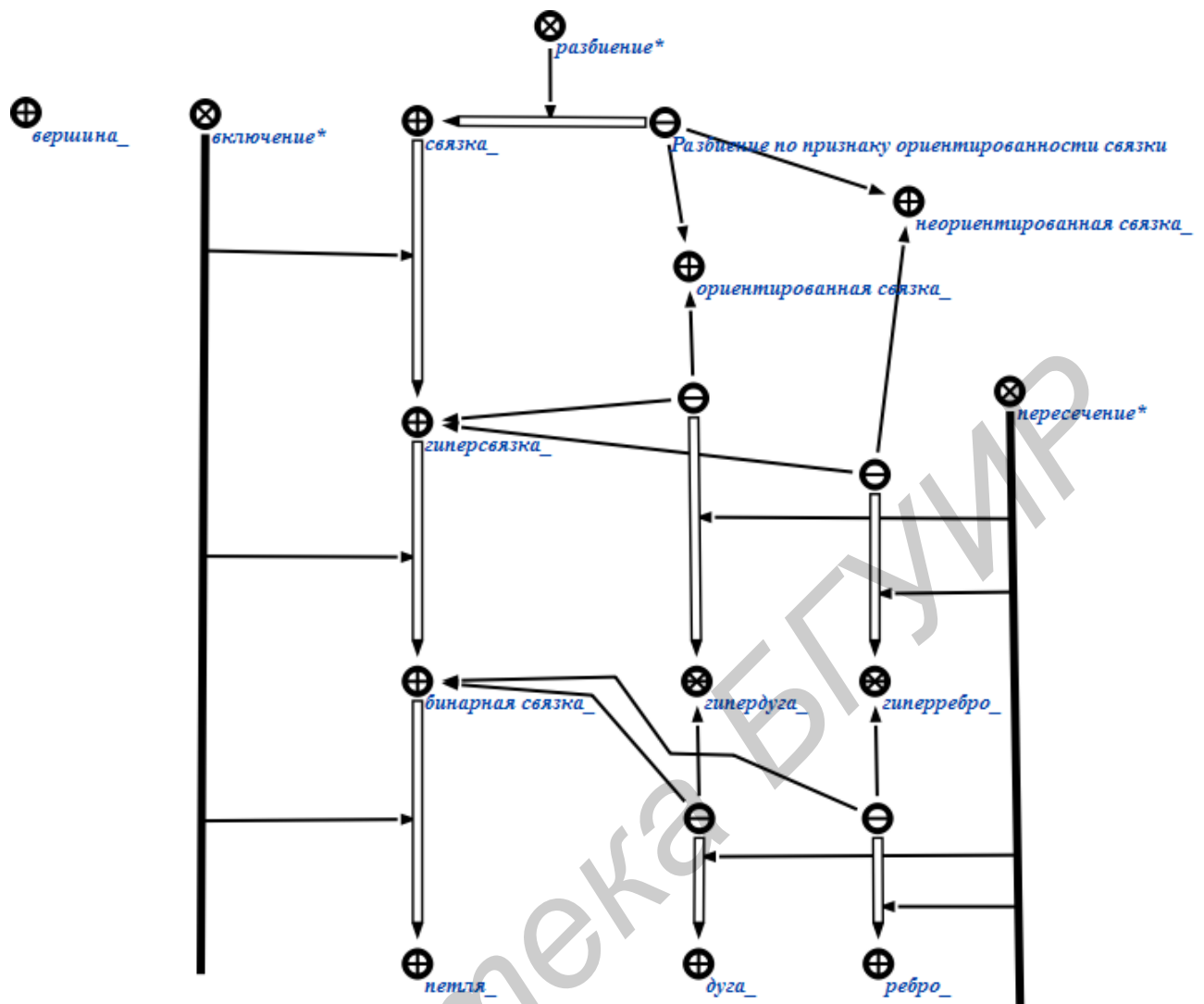


Рисунок 21 – Иерархия ролей элементов графовой структуры (неполная)

4.1.5 Пример выполнения задания

Список понятий:

- Графовая структура (абсолютное понятие) – это такая одноуровневая реляционная структура, объекты которой могут играть роль либо вершины, либо связки (рисунок 22):
 - вершина (относительное понятие, ролевое отношение);
 - связка (относительное понятие, ролевое отношение).

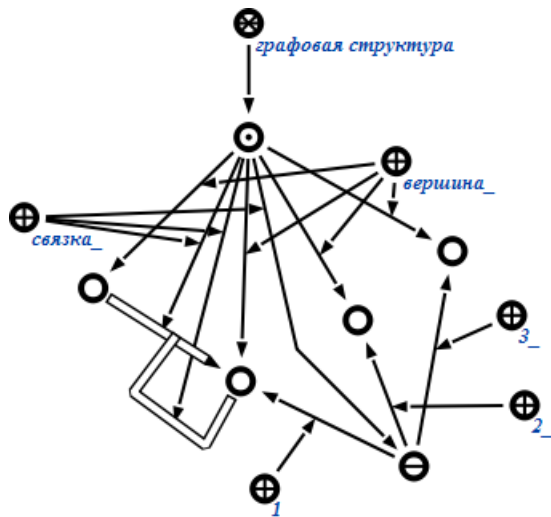


Рисунок 22 – Графовая структура

2. Графовая структура с ориентированными связками (абсолютное понятие) (рисунок 23):

- ориентированная связка (относительное понятие, ролевое отношение) – связка, которая задается ориентированным множеством.

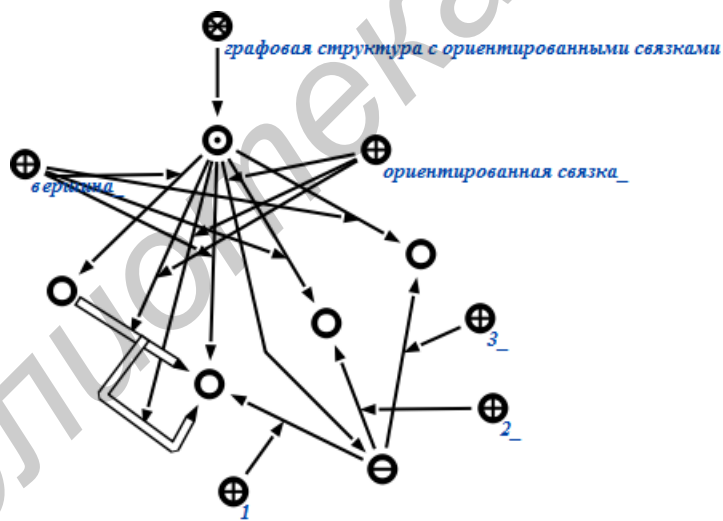


Рисунок 23 – Графовая структура с ориентированными связками

3. Графовая структура с неориентированными связками (абсолютное понятие) (рисунок 24):

- неориентированная связка (относительное понятие, ролевое отношение) – связка, которая задается неориентированным множеством.

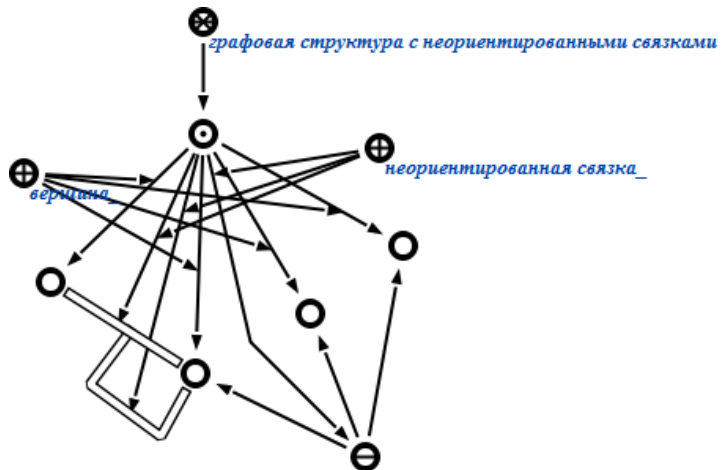


Рисунок 24 – Графовая структура с неориентированными связками

4. Гиперграф (абсолютное понятие) – это такая графовая структура, в которой связки могут связывать только вершины (рисунок 25):
 - гиперсвязка (относительное понятие, ролевое отношение);
 - гипердуга (относительное понятие, ролевое отношение) – ориентированная гиперсвязка;
 - гиперребро (относительное понятие, ролевое отношение) – неориентированная гиперсвязка.

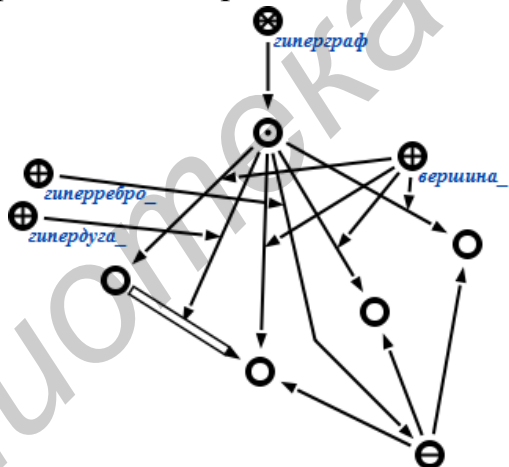


Рисунок 25 – Гиперграф

5. Псевдограф (абсолютное понятие) – это такой гиперграф, в котором все связки должны быть бинарными (рисунок 26):
 - бинарная связка (относительное понятие, ролевое отношение) – гиперсвязка арности 2;
 - ребро (относительное понятие, ролевое отношение) – неориентированная гиперсвязка;
 - дуга (относительное понятие, ролевое отношение) – ориентированная гиперсвязка;
 - петля (относительное понятие, ролевое отношение) – бинарная связка, у которой первый и второй компоненты совпадают.

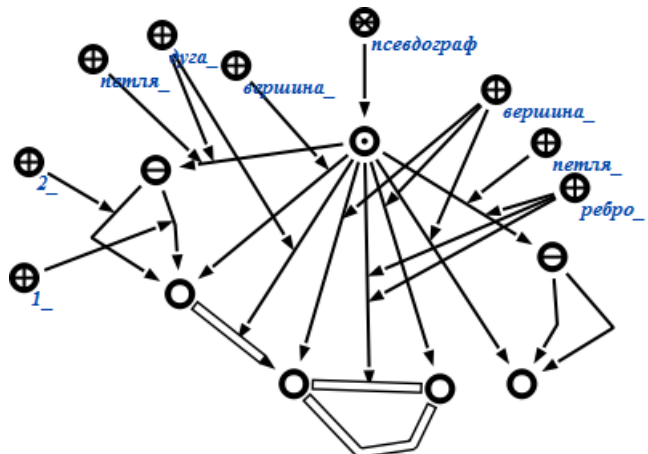


Рисунок 26 – Псевдограф

6. Мультиграф (абсолютное понятие) – это такой псевдограф, в котором не может быть петель (рисунок 27).

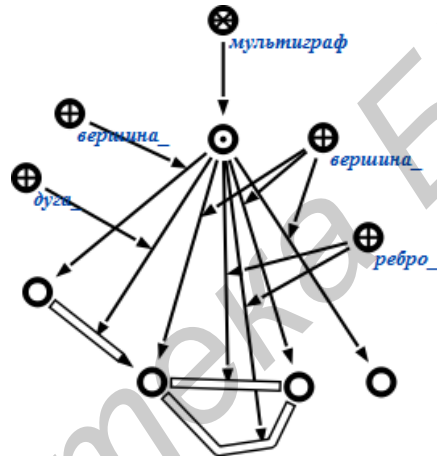


Рисунок 27 – Мультиграф

7. Граф (абсолютное понятие) – это такой мультиграф, в котором не может быть кратных связок, т. е. связок, у которых первый и второй компоненты совпадают (рисунок 28).

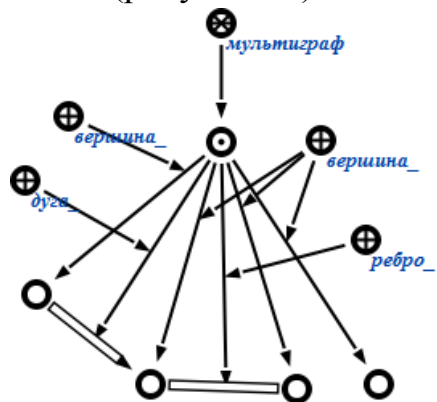


Рисунок 28 – Граф (абсолютное понятие)

8. Неориентированный граф (абсолютное понятие) – это такой граф, в котором все связки являются ребрами (рисунок 29).

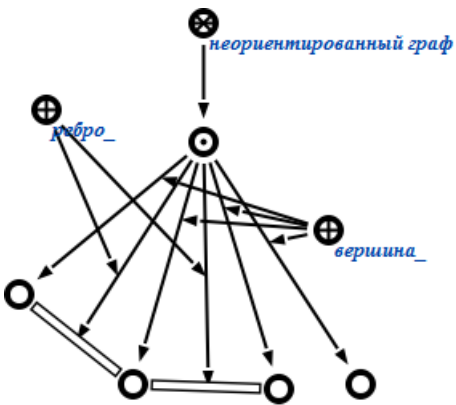


Рисунок 29 – Неориентированный граф (абсолютное понятие)

9. Ориентированный граф (абсолютное понятие) – это такой граф, в котором все связки являются дугами (рисунок 30).

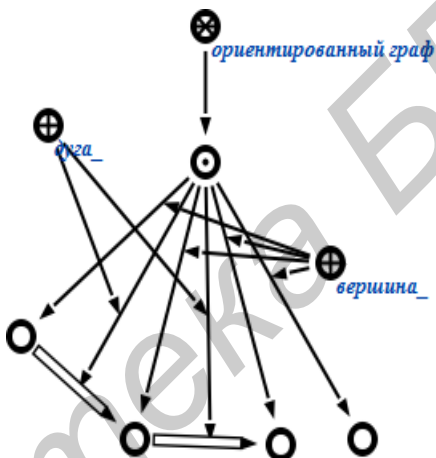


Рисунок 30 – Ориентированный граф (абсолютное понятие)

10. Маршрут (относительное понятие, бинарное ориентированное отношение) – это чередующаяся последовательность вершин и гиперсвязок в гиперграфе, которая начинается и заканчивается вершиной, и каждая гиперсвязка последовательности инцидентна двум вершинам, одна из которых непосредственно предшествует ей, а другая непосредственно следует за ней. В примере на рисунке 31 показан маршрут A, CON1, C, CON2, D, CON3, B, CON1, A в гиперграфе. Графы в примере приведены в сокращенной форме, CON1 – это тернарная неориентированная связка (гиперсвязка), CON2 и CON3 – бинарные связки (гиперсвязки).

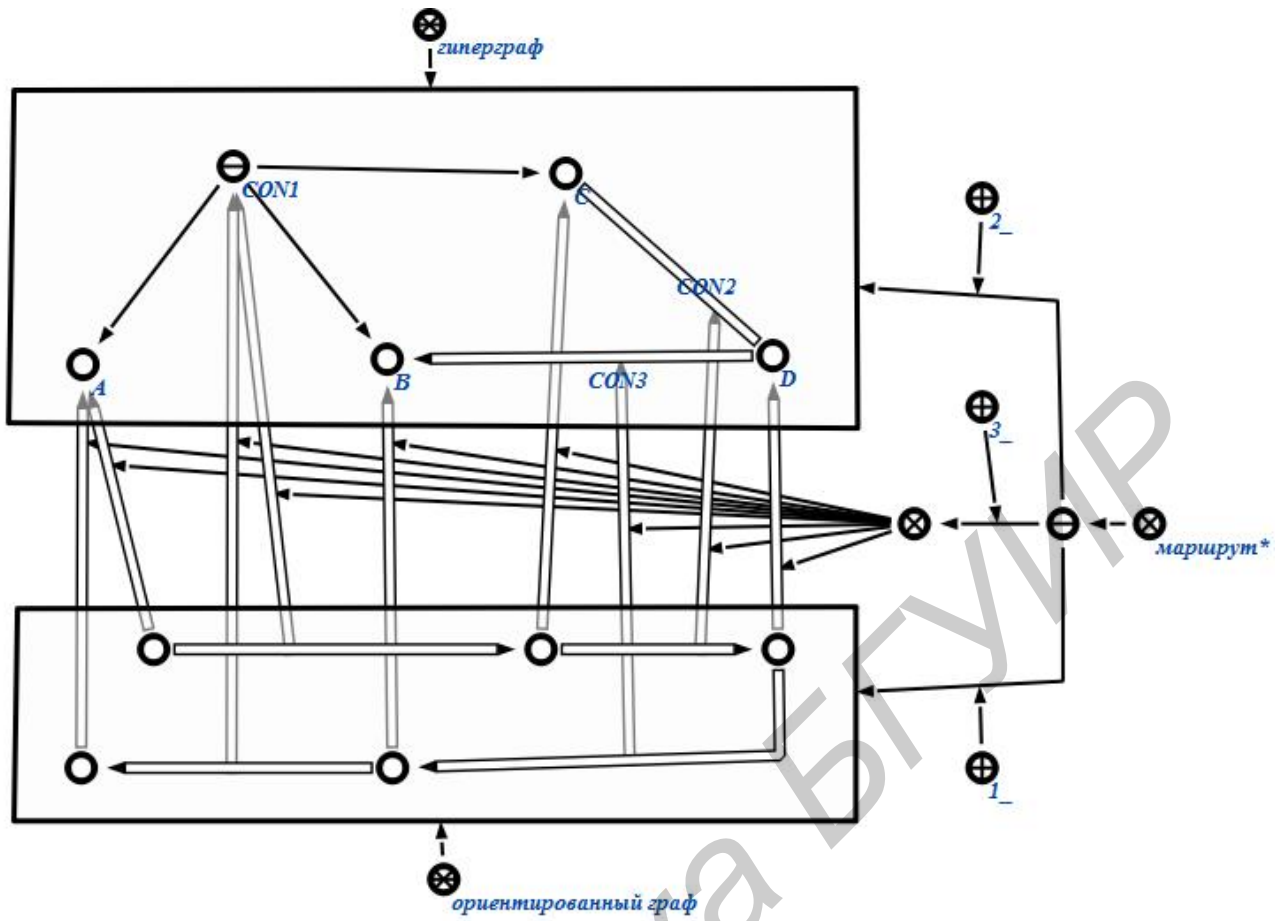


Рисунок 31 – Маршрут (относительное понятие)

11. Цепь (относительное понятие, бинарное ориентированное отношение) – это маршрут, все гиперсвязки которого различны. В примере на рисунке 32 показана цепь A, CON1, C, CON2, D, CON3, B, CON1, A в гиперграфе.

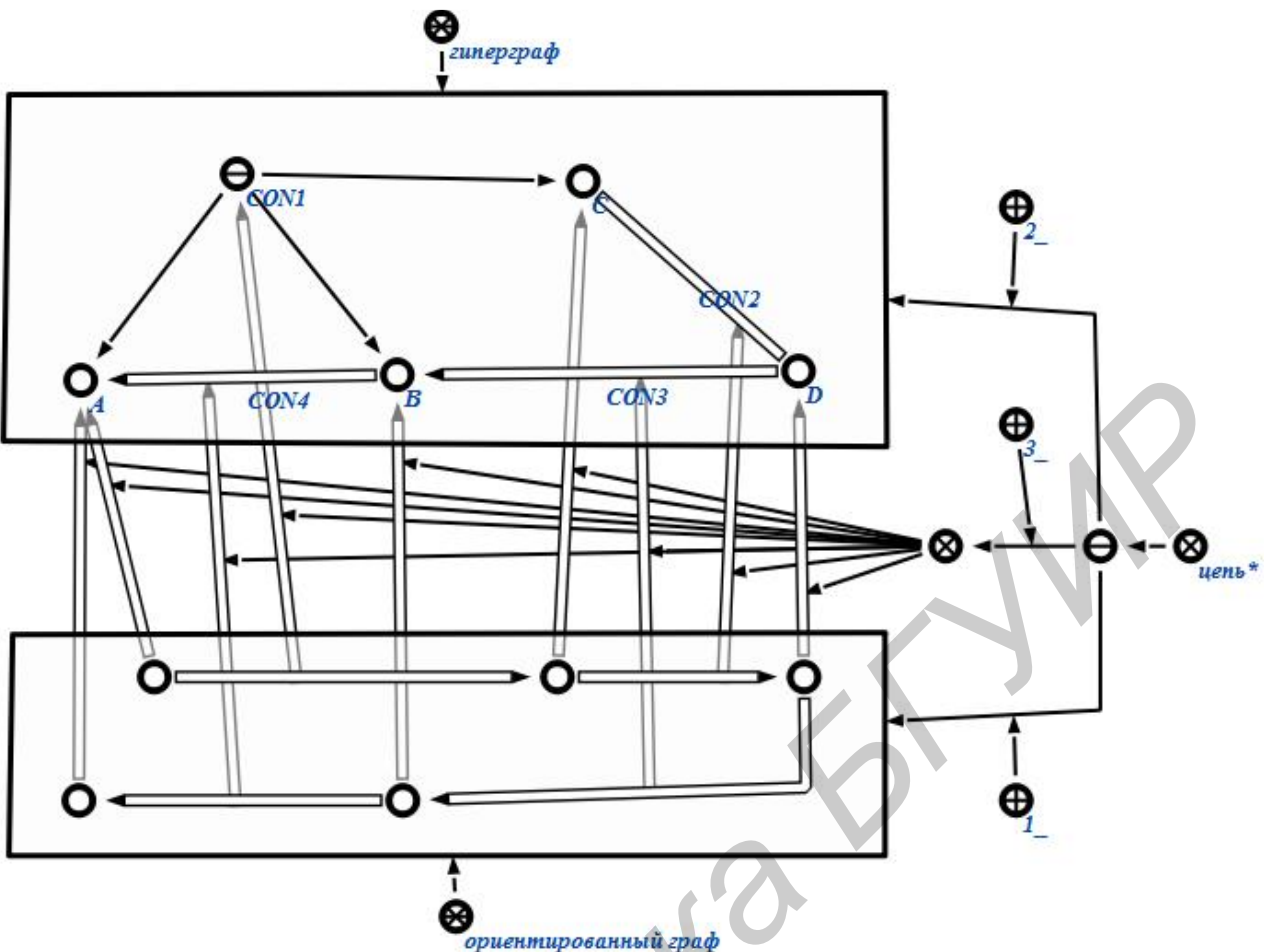


Рисунок 32 – Цепь (относительное понятие)

12. Простая цепь, путь (относительное понятие, бинарное ориентированное отношение) – это цепь, в которой все вершины различны. В примере на рисунке 33 показан путь A, CON1, C, CON2, D, CON3, B в гиперграфе.

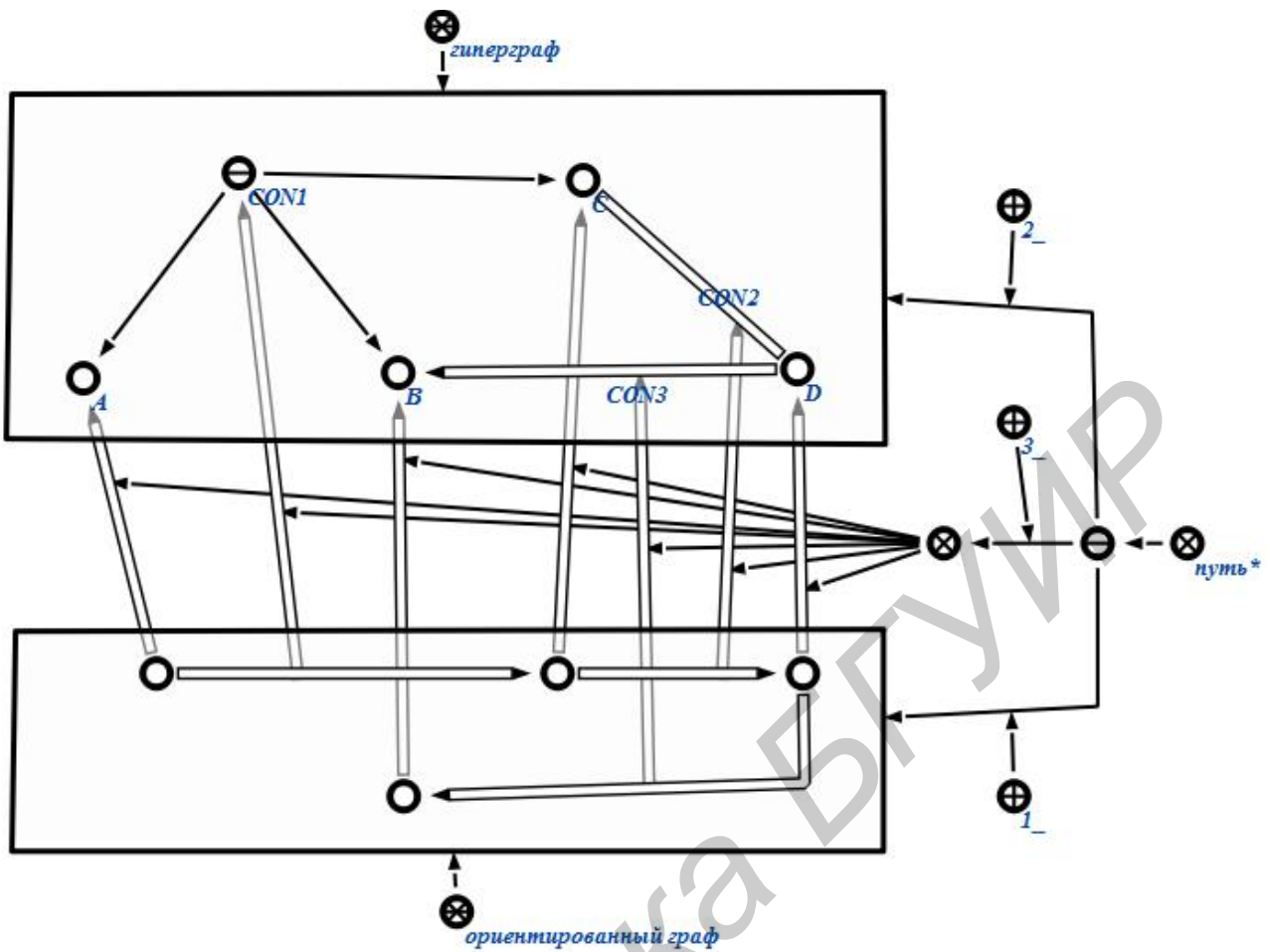


Рисунок 33 – Простая цепь (относительное понятие)

Тестовые примеры

Во всех тестах графы будут приведены в сокращенной форме со скрытыми ролями элементов графа.

Тест 1 (рисунок 34)

Вход: необходимо найти минимальный путь между вершинами А и С.

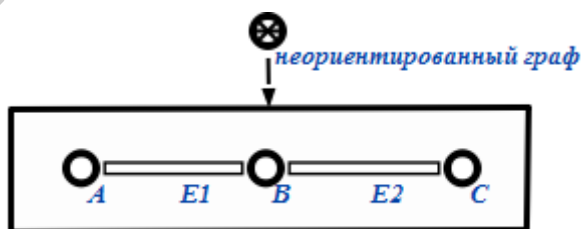


Рисунок 34 – Неориентированный граф к тесту 1

Выход: будет найден единственный минимальный путь А, Е1, В, Е2, С, (рисунок 35).

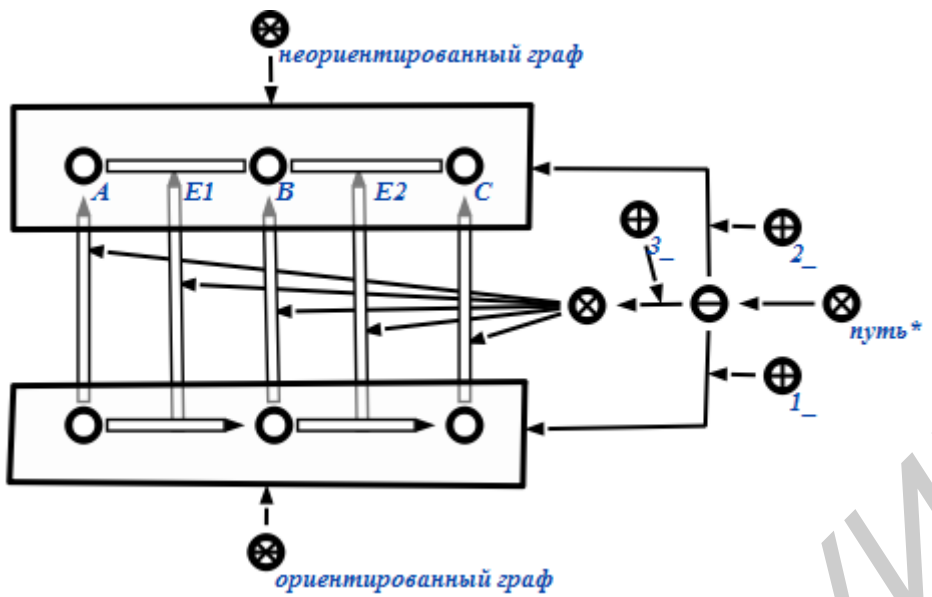


Рисунок 35 – Минимальный путь

Тест 2 (рисунок 36)

Вход: необходимо найти минимальный путь между вершинами А и F.

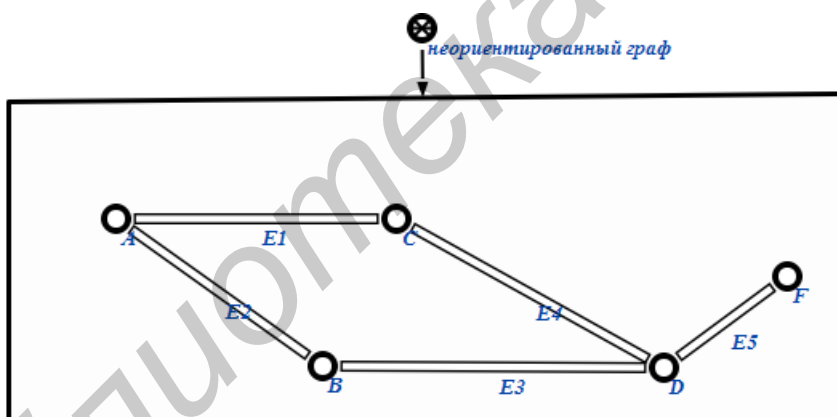


Рисунок 36 – Неориентированный граф к тесту 2

Выход: будет найден один из двух минимальных путей A, E2, B, E3, D, E5, F (рисунок 37).

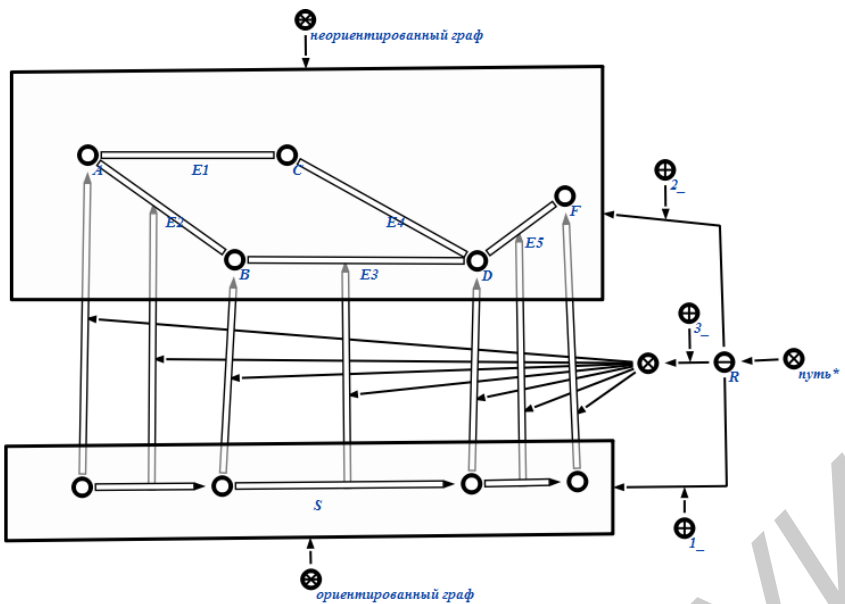


Рисунок 37 – Минимальные пути к тесту 2

Тест 3 (рисунок 38)

Вход: необходимо найти минимальный путь между вершинами А и К.

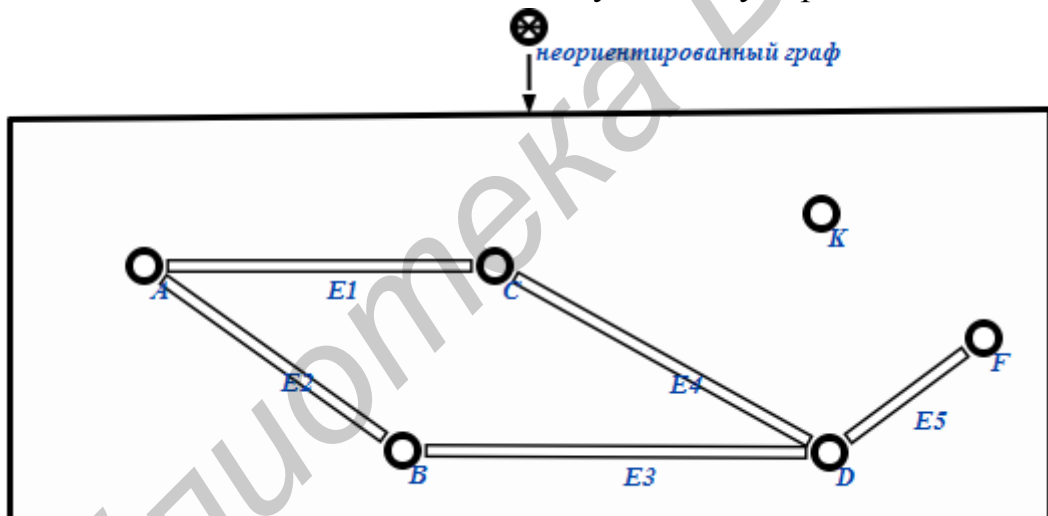


Рисунок 38 – Неориентированный граф к тесту 3

Выход: Минимальный путь между вершинами А и К не существует.
Программа должна вернуть ошибку вызывающему контексту.

Тест 4 (рисунок 39)

Вход: необходимо найти минимальный путь между вершинами V5 и V11.

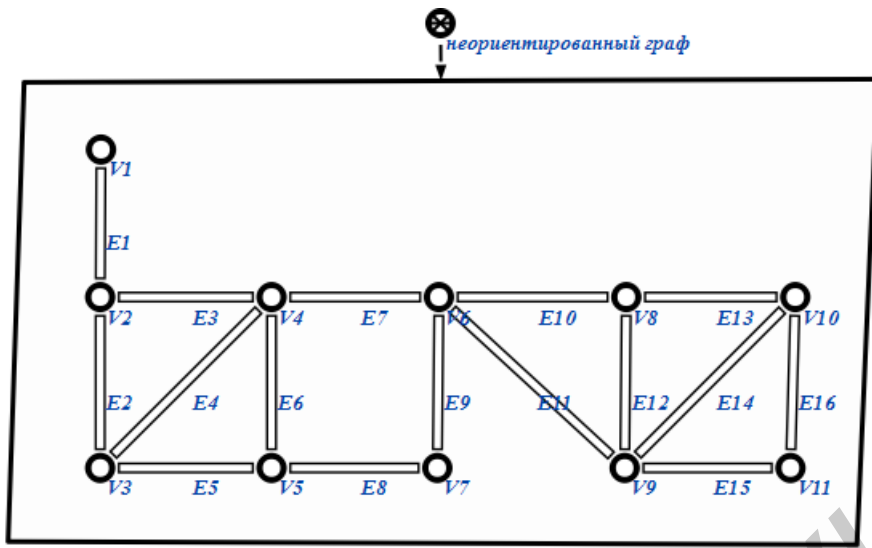


Рисунок 39 – Неориентированный граф к тесту 4

Выход: будет найден один из двух минимальных путей V_5 , E_8 , V_7 , E_9 , V_6 , E_{11} , V_9 , E_{15} , V_{11} (рисунок 40).

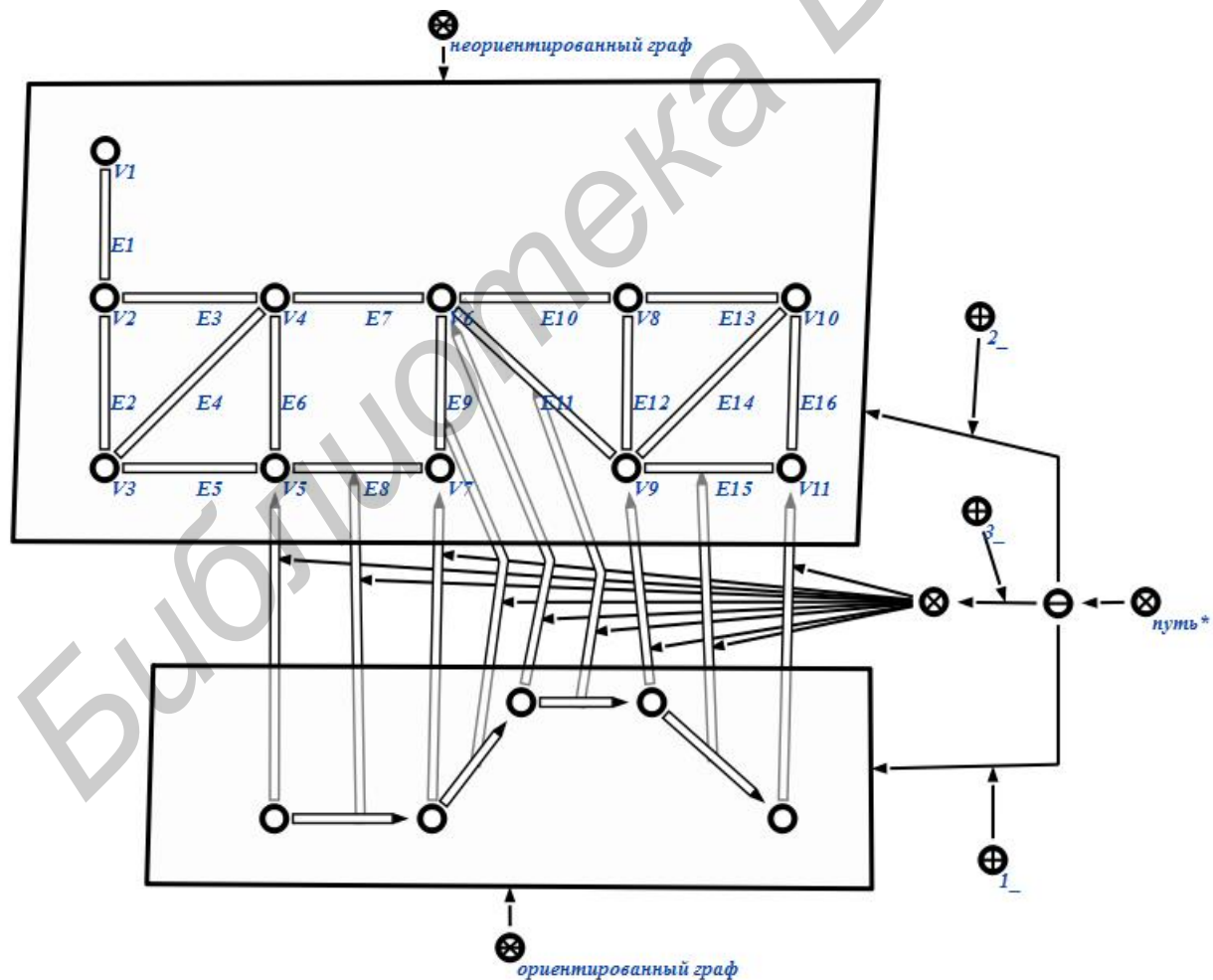


Рисунок 40 – Минимальные пути к тесту 4

Тест 5 (рисунок 41)

Вход: необходимо найти минимальный путь между вершинами V1 и V9.

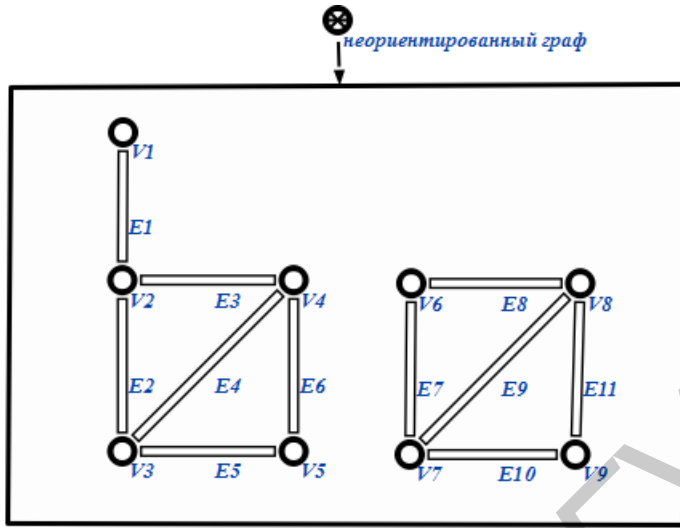


Рисунок 41 – Неориентированный граф к тесту 5

Выход: минимальный путь между вершинами V1 и V9 не существует.
Программа должна вернуть ошибку вызывающему контексту.

4.2. Варианты индивидуальных заданий

Варианты индивидуальных заданий к занятию 4 аналогичны перечисленным в занятии 2 (подраздел 2.2).

5 БАЗОВЫЕ ПРИНЦИПЫ ОБРАБОТКИ ГРАФОВЫХ СТРУКТУР В ИНТЕЛЛЕКТУАЛЬНЫХ СИСТЕМАХ

Содержание занятия: разработка алгоритма решения предложенной теоретико-графовой задачи на основе формального представления графовой структуры.

5.1 Теоретические сведения

В рамках данного занятия необходимо продемонстрировать пошаговое выполнение алгоритма в sc-памяти. Сам алгоритм и структуры данных для него уже исследовались на предыдущих занятиях, а сейчас продемонстрируем графодинамику выполнения алгоритма. Это значит, что вся информация, необходимая для работы вашего алгоритма, должна храниться в sc-памяти и там же и обрабатываться. Недостаток данного требования – невозможность использования привычной матрицы смежности/инцидентности.

5.1.1 Волновой алгоритм поиска одного из минимальных путей в неориентированном графе

Описание алгоритма

В рамках алгоритма волной называется множество вершин, каждая из которых является в обрабатываемом графе смежной хотя бы одной вершине из предыдущей волны. Волна, для которой нет предыдущей волны, называется начальной и состоит из вершины, от которой начинается поиск минимального пути. Волна, включающая конечную вершину пути, называется конечной. Таким образом, алгоритм можно задать следующим перечнем шагов:

1. Добавить все вершины графа, кроме начальной вершины пути, во множество непроверенных вершин.
2. Создать новую волну и добавить в нее начальную вершину пути. Начальная волна – это новая волна. Новой волной будем называть последнюю созданную волну.
3. Сформировать следующую волну для новой волны. В нее попадет та вершина, которая является смежной вершине из новой волны и присутствует во множестве непроверенных вершин. Если вершина попала в формируемую волну, то ее надо исключить из множества непроверенных вершин. Созданную волну необходимо установить как следующую для новой волны, и после этого созданную волну считать новой волной.

4. Если новая волна пуста, то между вершинами не существует пути. Завершить алгоритм.
5. Если в текущей волне есть конечная вершина, то перейти к шагу 6, иначе – к шагу 3.
6. Сформировать один из минимальных путей, проходя в обратном порядке по списку волн. Завершить алгоритм.

Пример выполнения алгоритма в sc-памяти

Перед демонстрацией выполнения алгоритма в sc-памяти необходимо установить некоторые соглашения по формированию SCg-рисунков.

При записи графов будет использоваться сокращенная форма: атрибуты для вершин и связок не приводятся (используется только для наглядности).

В качестве программных переменных, применяемых в ходе работы алгоритма, будут использоваться sc-переменные. Для указания значения sc-переменной используется отношение *значение**. На рисунке 42 задано значение для sc-переменной *_beg_vertex*.

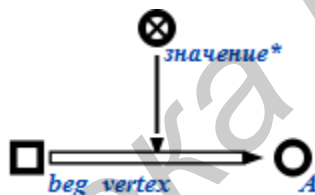


Рисунок 42 – Пример указания значения sc-переменной *_beg_vertex*

Однако будем сокращать способ, показанный на рисунке 42, опуская знак отношения *значение**. Таким образом, будет использована форма, показанная на рисунке 43. Важно, что полученная sc-конструкция не является корректной в семантическом смысле, но в данном разделе использование именно такой формы позволит сделать рисунки более понятными.



Рисунок 43 – Пример сокращенного указания значения sc-переменной *_beg_vertex*

Последнее, о чем стоит упомянуть, это использование цвета с целью явного выделения изменений, произошедших с sc-конструкцией:

- фиолетовым – sc-переменные, значение которых изменилось;
- зеленым – созданные sc-элементы;
- синим – измененные sc-элементы (например, sc-множества, в которые был включен или из которых был исключен элемент).

Демонстрация алгоритма

Выполнение алгоритма продемонстрируем через состояния sc-памяти на каждом элементарном этапе решения задачи. Для всех элементарных этапов, для которых это возможно, в конце их краткого описания в скобках будет указан соответствующий номер шага алгоритма, рассмотренного выше.

Задание входного графа, начальной и конечной вершины пути для работы алгоритма (рисунок 44)

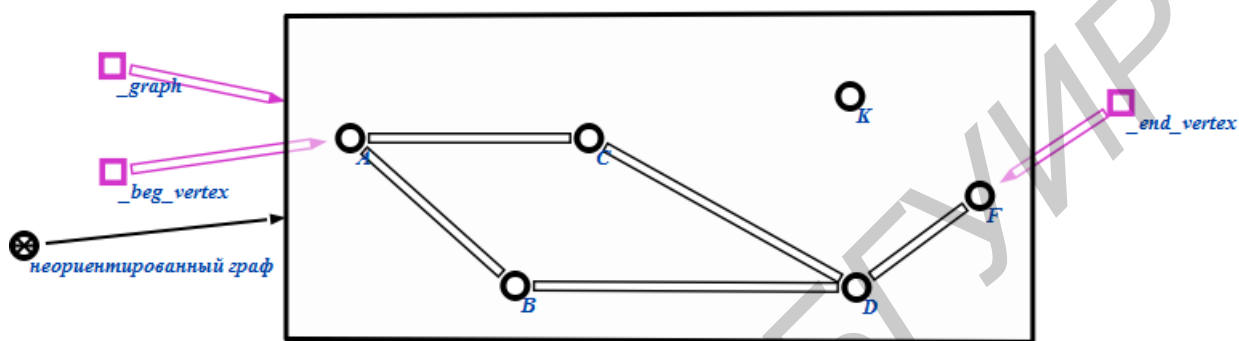


Рисунок 44 – Задание входного графа, начальной и конечной вершины пути для работы алгоритма

Переменные изменятся следующим образом:

- `_graph` получит в качестве значения sc-узел неориентированного графа;
- `_beg_vertex` получит в качестве значения вершину А, которая будет начальной для поиска минимального пути;
- `_end_vertex` получит в качестве значение вершину F, которая будет конечной для поиска минимального пути. Таким образом, из состояния sc-памяти на этом шаге вам должно быть ясно, что будет производиться поиск минимального пути между вершинами А и F.

Шаг 1. Создание множества непроверенных вершин (рисунок 45)

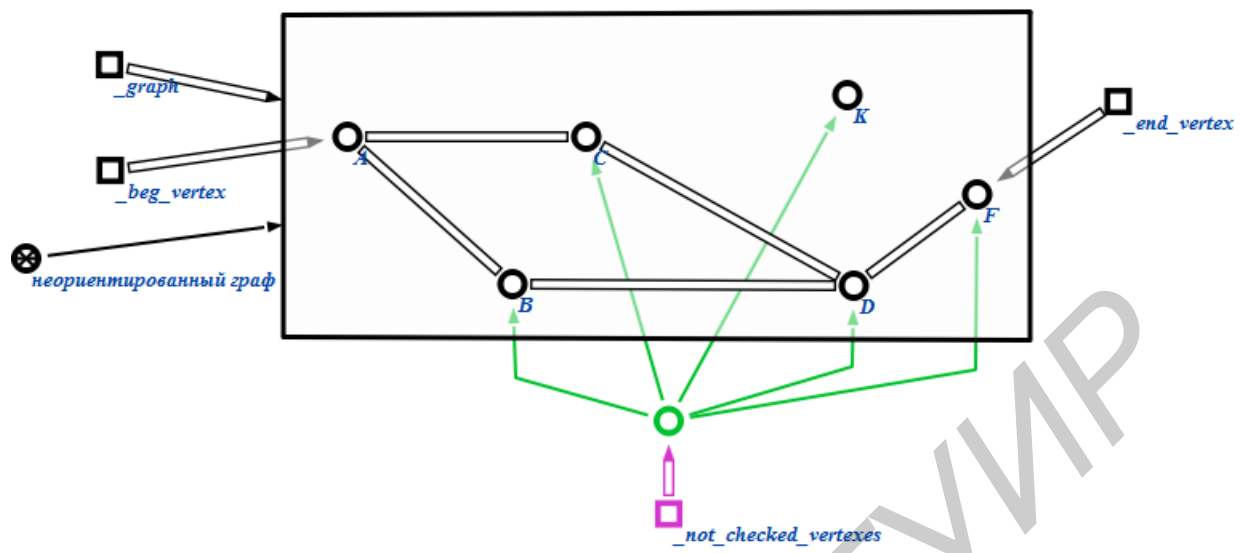


Рисунок 45 – Создание множества непроверенных вершин

Переменная `_not_checked_Vertexes` получит в качестве значения множество непроверенных вершин обрабатываемого графа (в это множество не включена начальная вершина пути А).

Шаги 2, 3. Создание волны, включающей начальную вершину А (рисунок 46)

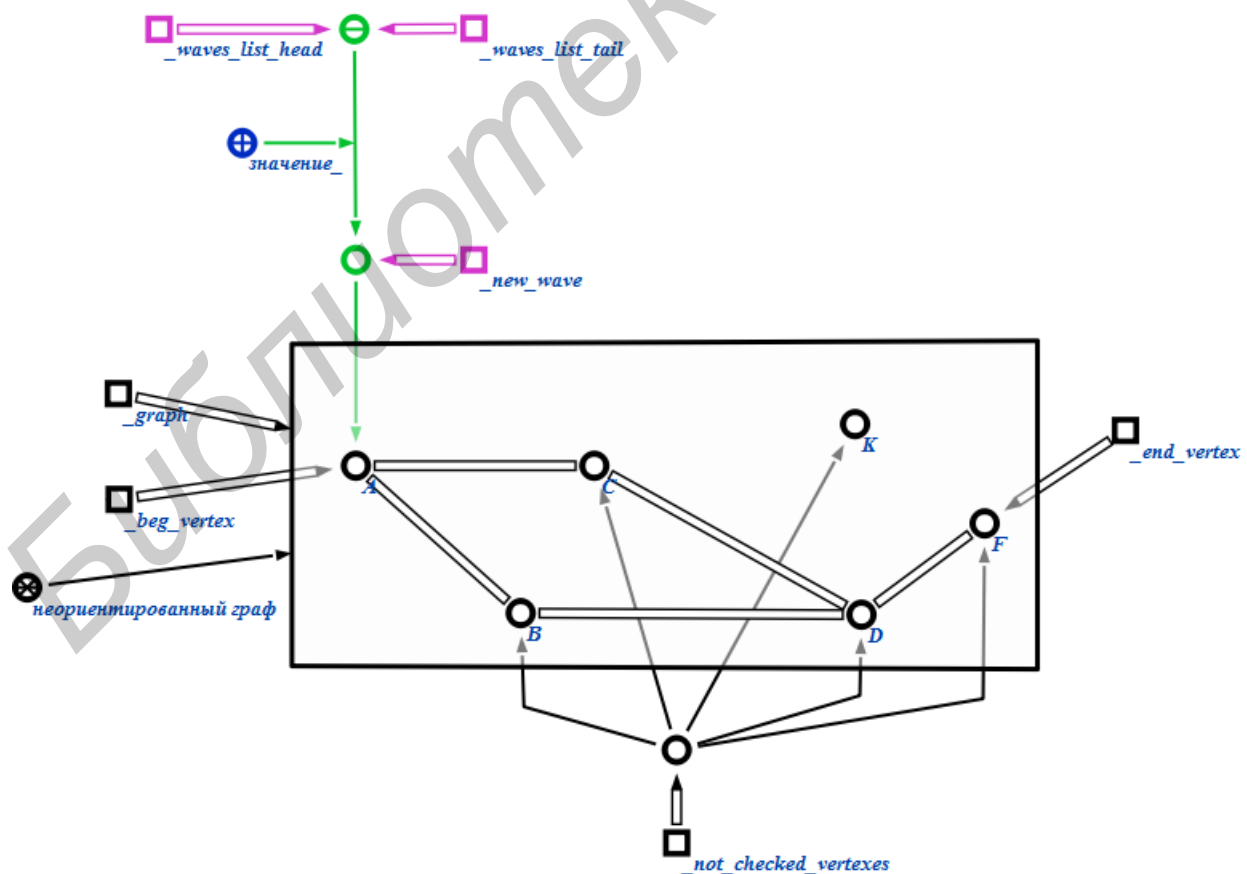


Рисунок 46 – Создание волны, включающей начальную вершину А

На этом этапе программа создает первую волну из списка волн. Первая волна содержит только начальную вершину пути А. Переменная `_new_wave` получает в качестве значения созданную волну, и в будущем будет всегда указывать на вновь созданную волну.

Переменная `_waves_list_head` указывает на начальный элемент списка волн, а переменная `_waves_list_tail` сейчас и в последующих шагах – на концевой элемент списка волн.

Шаг 4. Создание волны, включающей вершины В и С (рисунок 47)

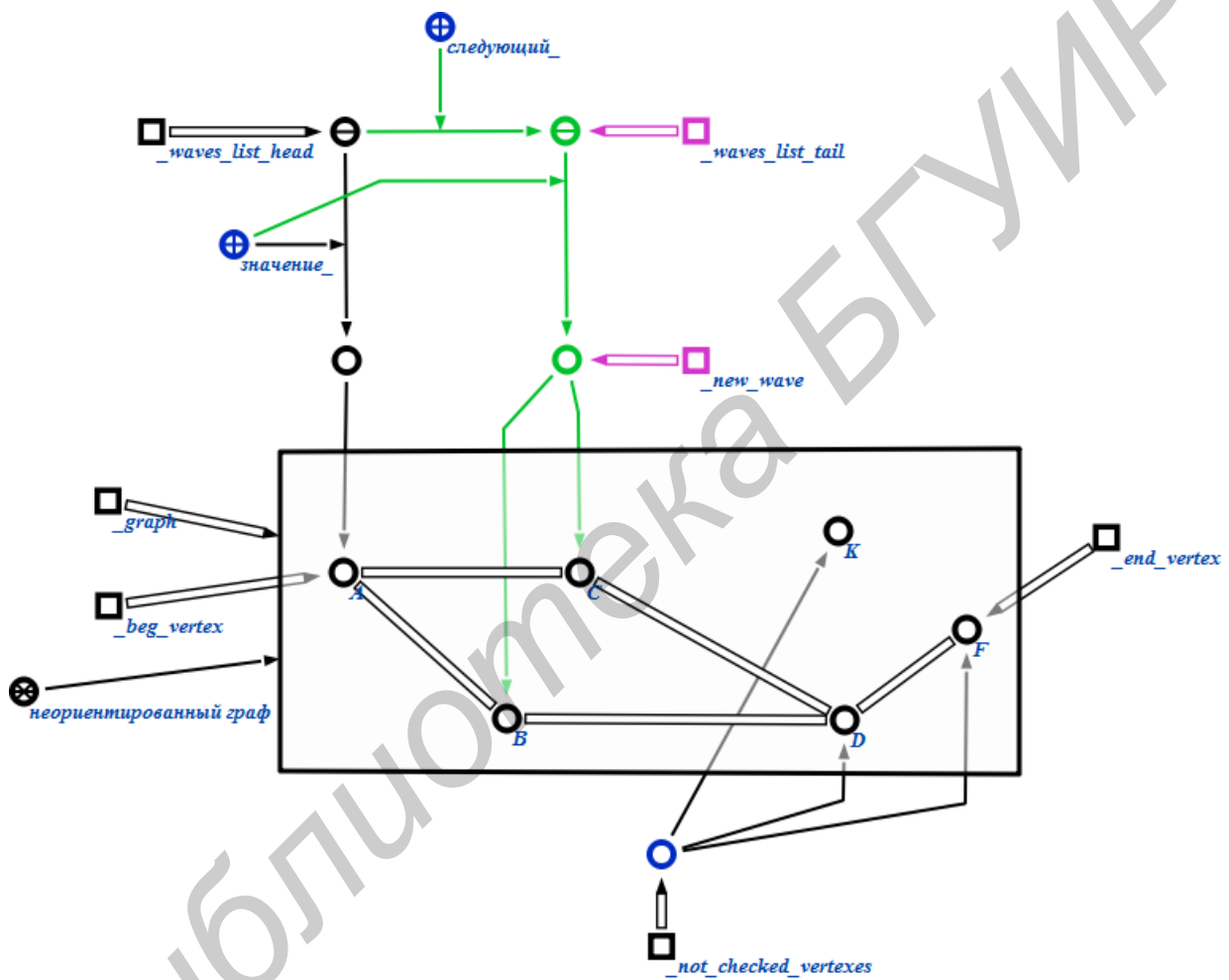


Рисунок 47 – Создание волны, включающей вершины В и С

Для вершин из предыдущей волны являются смежными и входящими во множество проверенных вершин только вершины В и С. Из них формируется новая волна. Эти вершины исключаются из множества непроверенных вершин (см. значение переменной `_not_checked_vertexes`).

Переменная `_waves_list_tail` получает в качестве значения созданный элемент списка, а переменная `_new_wave` – созданную волну.

Шаг 5. Создание волны, включающей вершину D (рисунок 48)

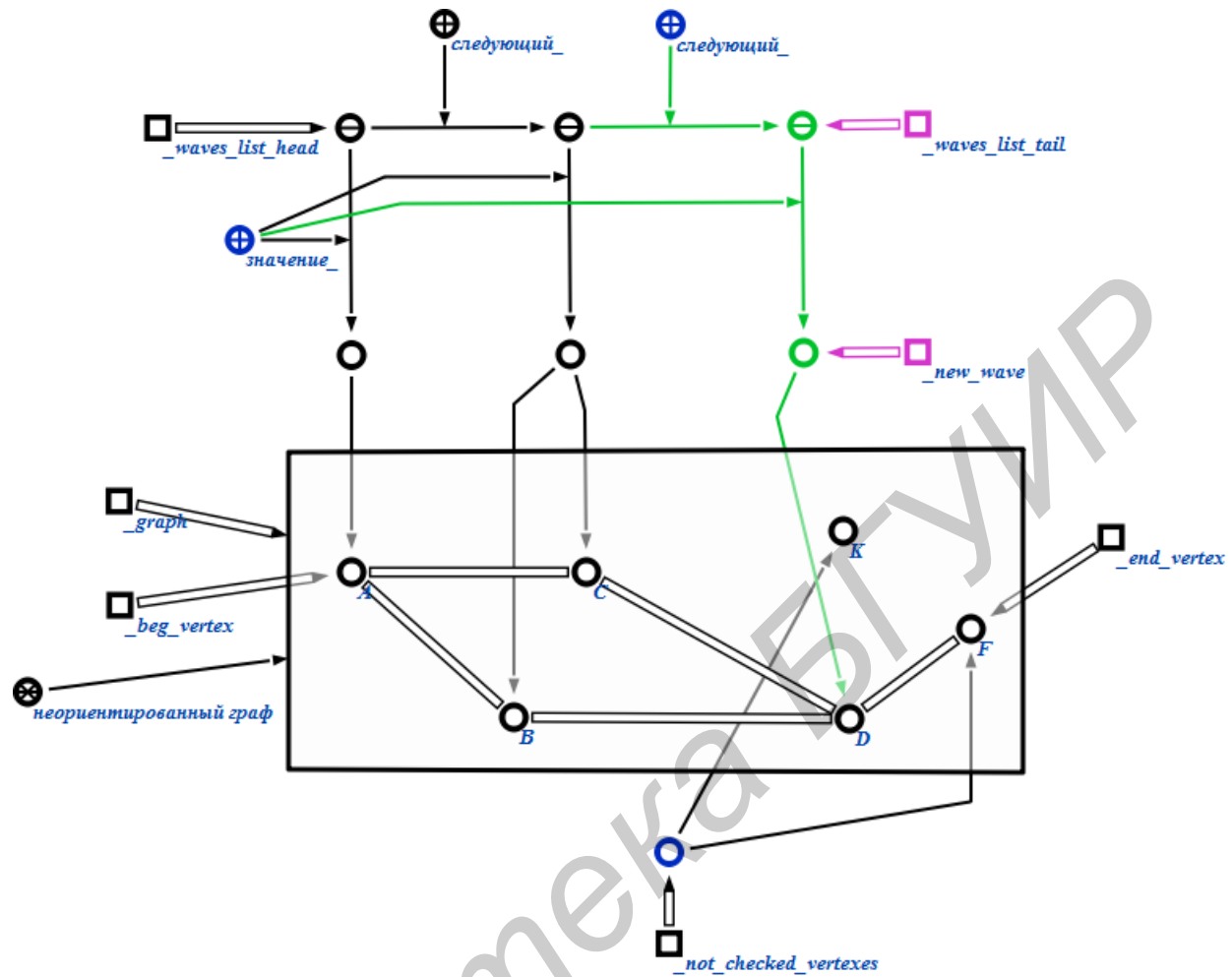


Рисунок 48 – Создание волны, включающей вершину D

Для вершин из предыдущей волны является смежной и входящей во множество проверенных вершин только вершина D. Из нее формируется новая волна. Эта вершина исключается из множества непроверенных вершин (см. значение переменной `_not_checked_vertexes`).

Переменная `_waves_list_tail` получает в качестве значения созданный элемент списка, а переменная `_new_wave` – созданную волну.

Шаги 6, 7, 8. Создание волны, включающей вершину F (рисунок 49)

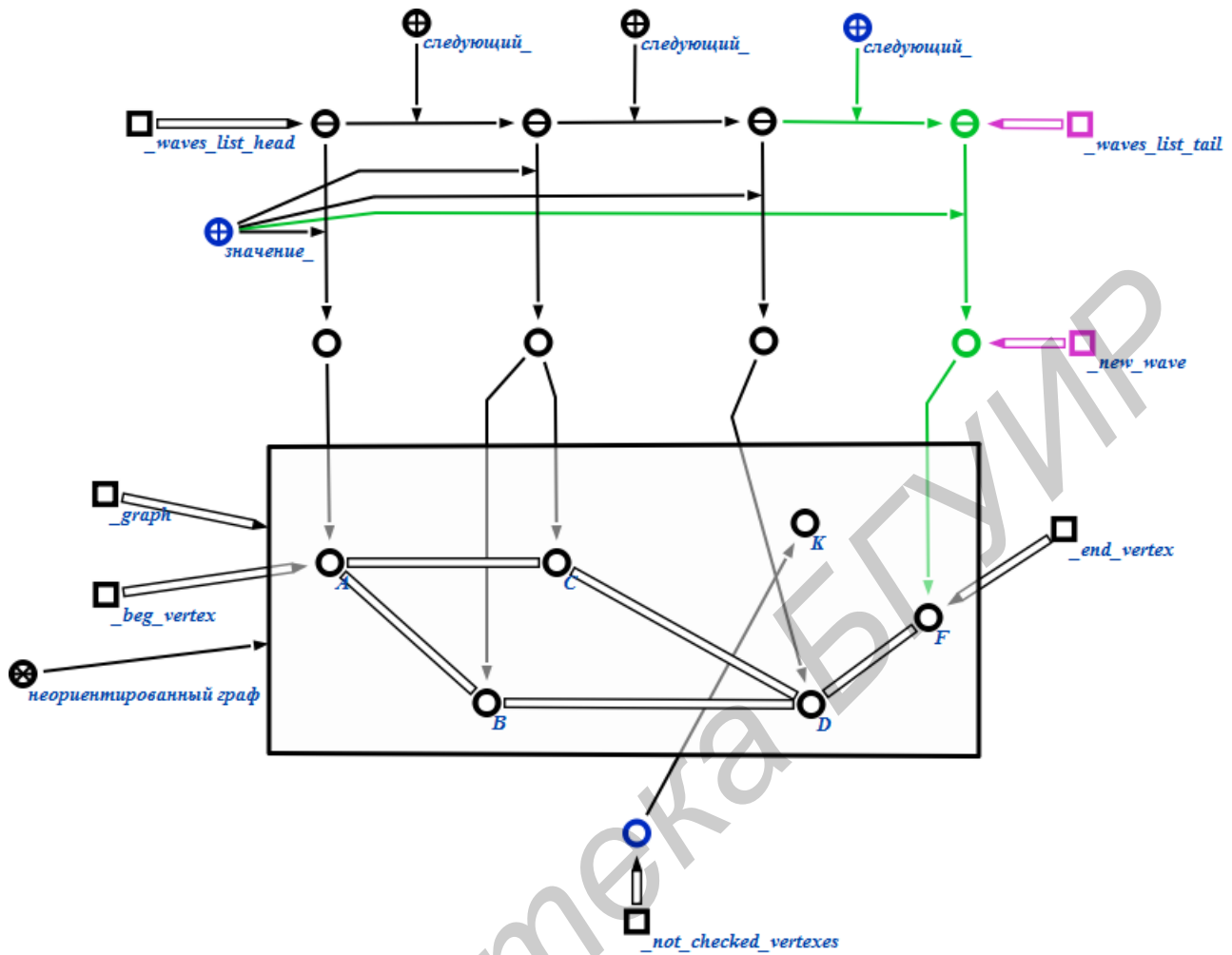


Рисунок 49 – Создание волны, включающей вершину F

Для вершины из предыдущей волны является смежной и входящей во множество проверенных вершин только вершина F. Из нее формируем новую волну. Эта вершина исключается из множества непроверенных вершин (см. значение переменной `_not_checked_vertexes`).

Переменная `_waves_list_tail` получает в качестве значения созданный элемент списка, а переменная `_new_wave` – созданную волну.

Так как эта волна содержит конечную вершину пути F, то на следующих этапах перейдем к генерации одного из найденных минимальных путей.

Шаг 9. Удаление множества непроверенных вершин (рисунок 50)

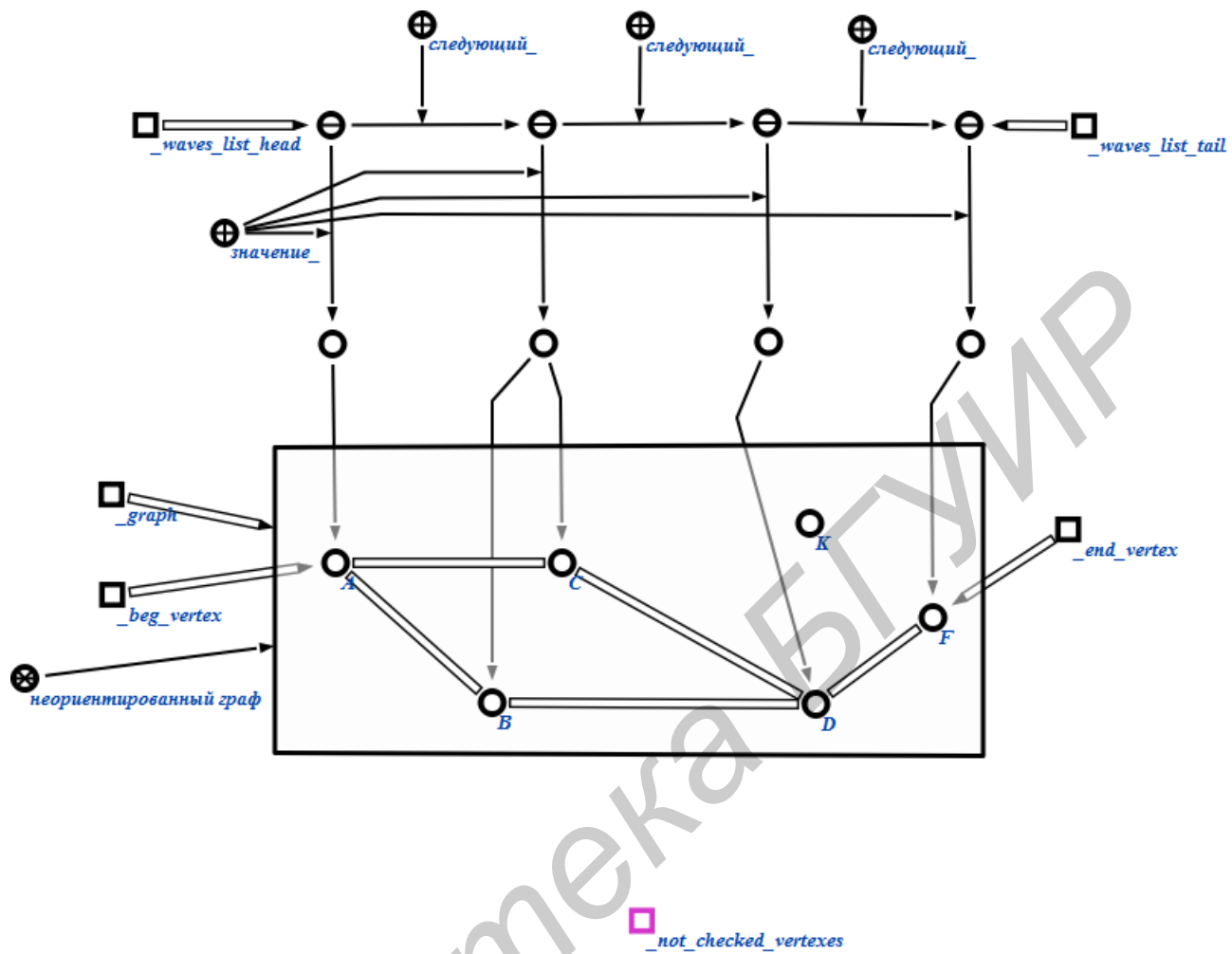


Рисунок 50 – Удаление множества непроверенных вершин

Удаляем значение переменной `_not_checked_vertexes`, так как оно уже не нужно.

Шаг 10. Создание связки отношения путь* (рисунок 51)

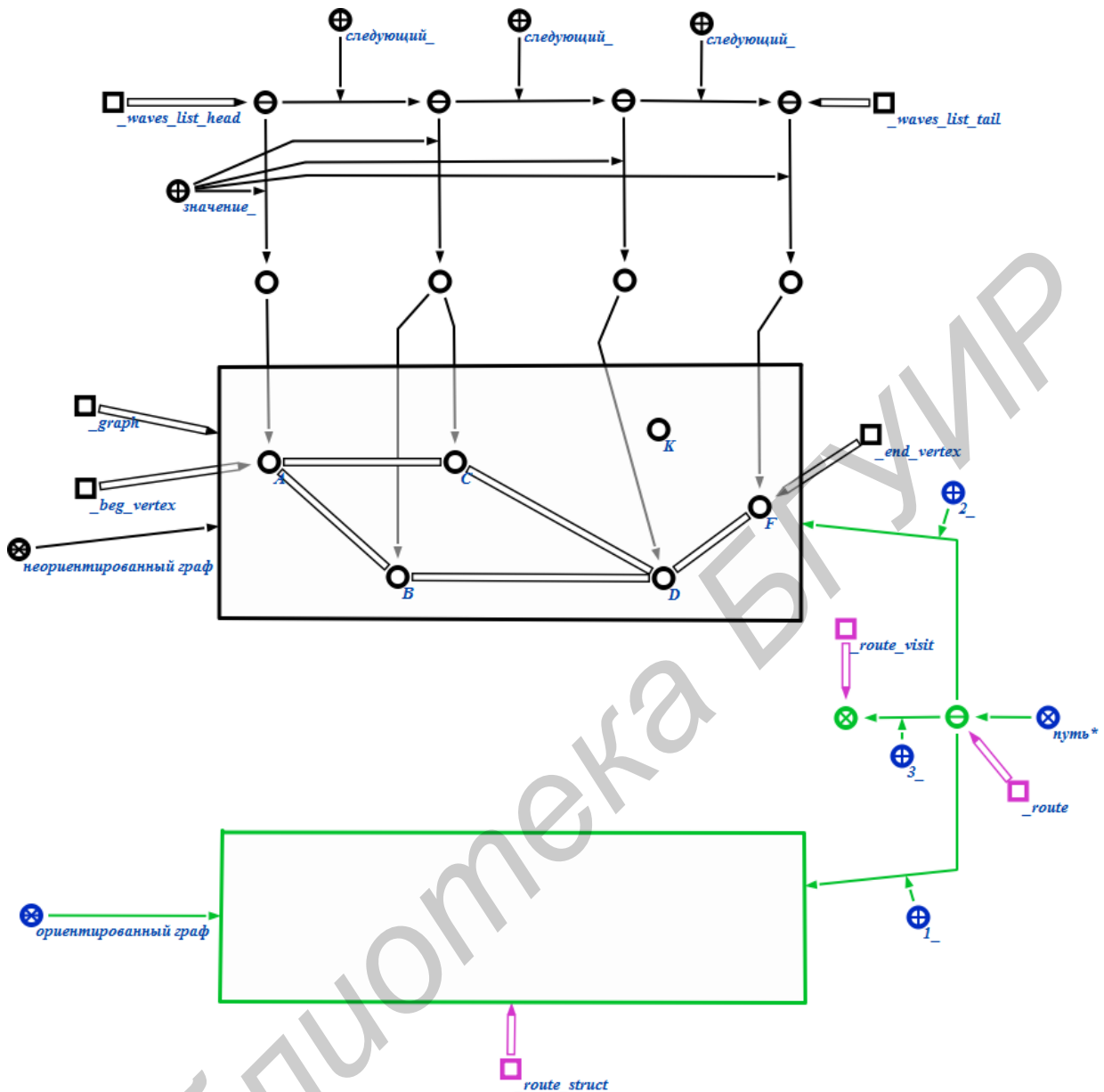


Рисунок 51 – Создание связки отношения *путь***

Начинаем генерацию одного из найденных минимальных путей.

Создадим связку отношения *путь** и установим ее в качестве значения переменной `_route`. Переменная `_route_struct` получит в качестве значения ориентированный граф структуры пути, а переменная `_route_visit` – отношения посещения.

Шаг 11. Добавление в структуру пути посещения конечной вершины генерируемого пути (рисунок 52)

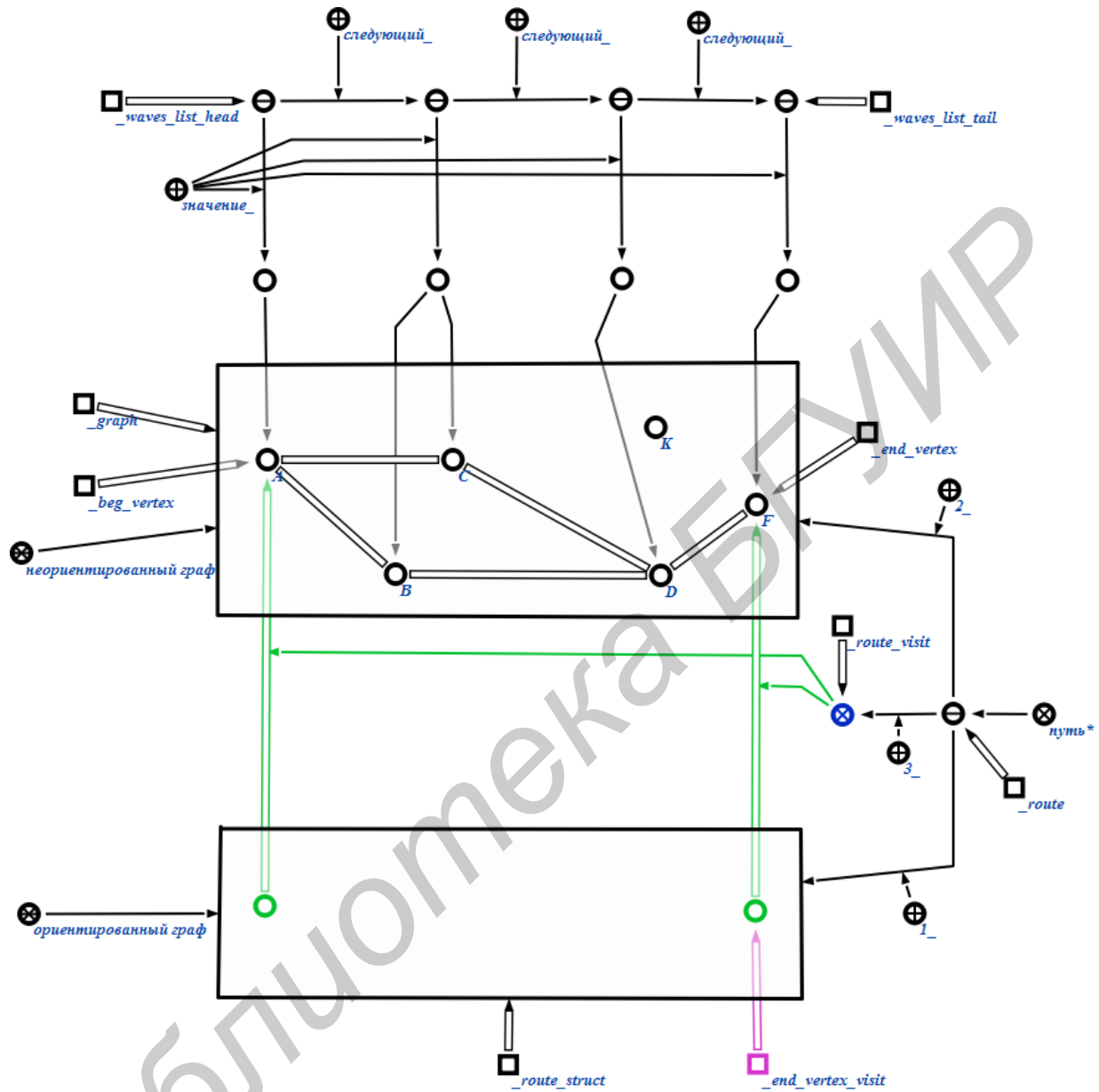


Рисунок 52 – Добавление в структуру пути посещения конечной вершины генерируемого пути

Добавим в структуру генерируемого пути посещение конечной вершины F. Созданное посещение получит в качестве значения переменная `_end_vertex_visit`.

Шаг 12. Установка переменных для 1-й итерации цикла генерации структуры пути (рисунок 53)

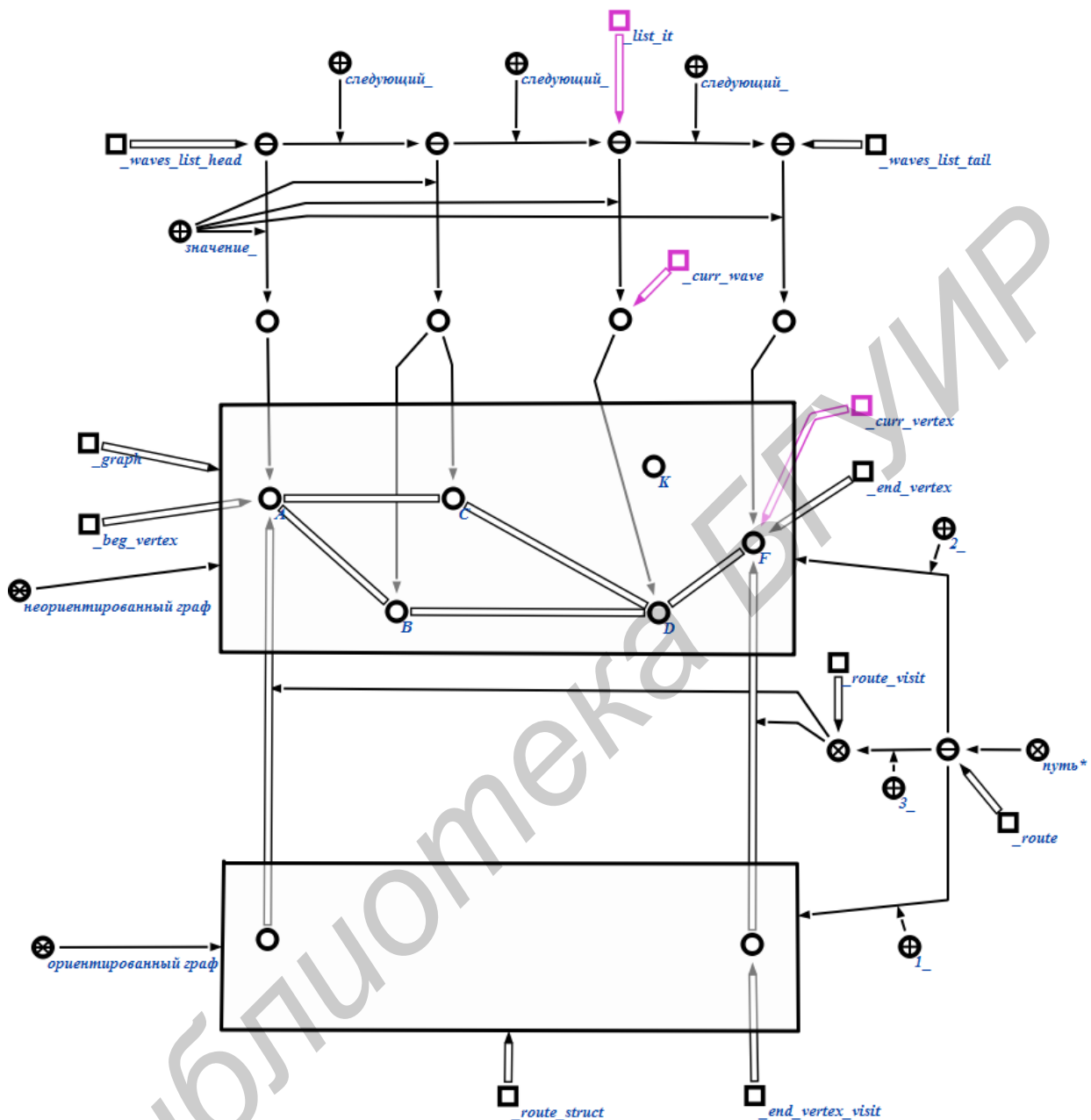


Рисунок 53 – Установка переменных для 1-й итерации цикла генерации структуры пути

Структура пути строится начиная с конечной вершины пути F.

На этом этапе переменная `curr_vertex` получит в качестве значения текущую обрабатываемую вершину, переменная `list_it` – текущий обрабатываемый элемент списка волн, переменная `curr_wave` – текущую обрабатываемую волну.

Шаг 13. Создание посещения вершины на 1-й итерации цикла генерации структуры пути (рисунок 54)

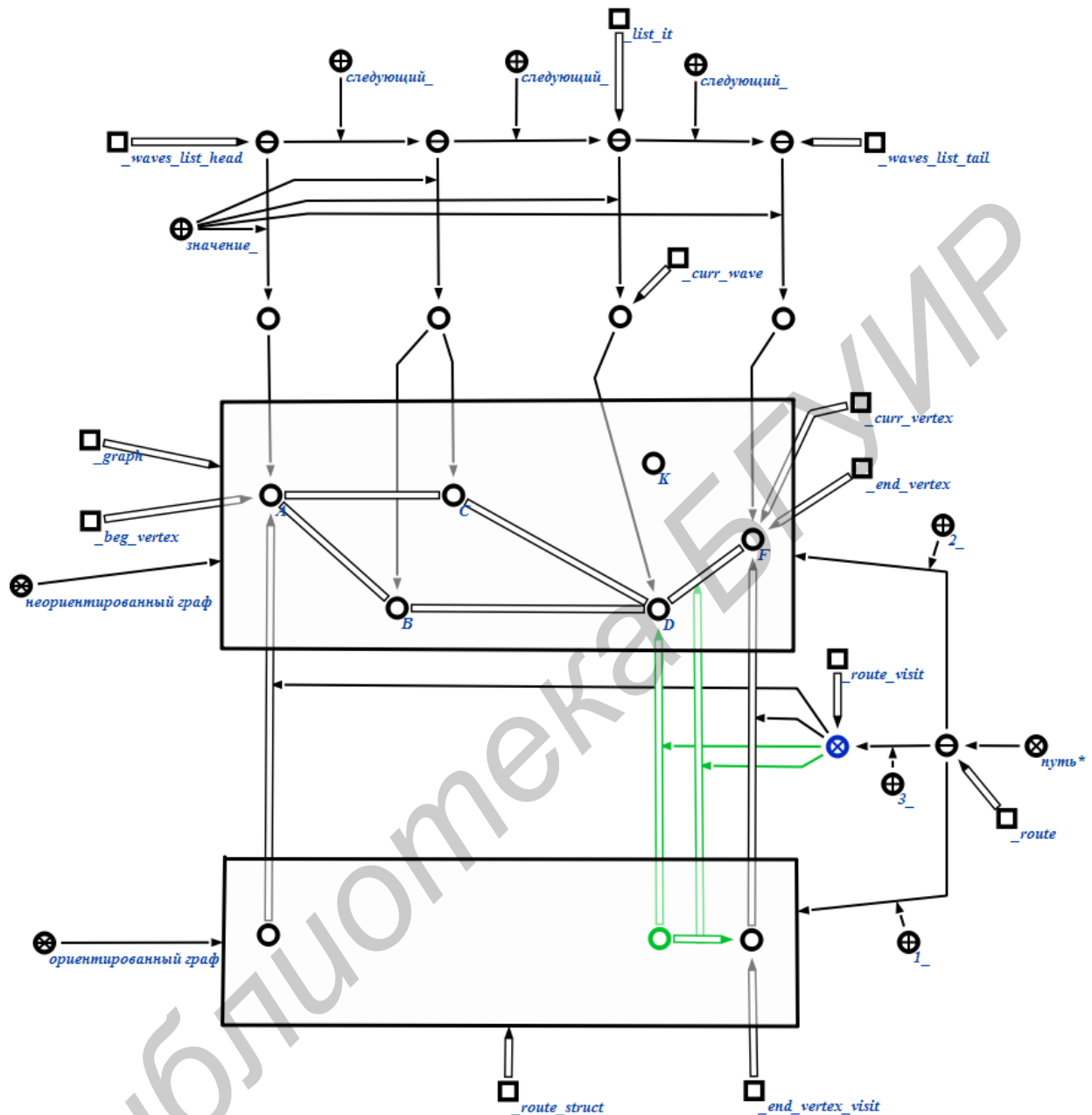


Рисунок 54 – Создание посещения вершины на 1-й итерации цикла генерации структуры пути

Создадим посещение для одной из вершин из волны `_curr_wave`, которая является смежной вершине из переменной `_curr_vertex`. Для связывающего их ребра тоже создадим посещение.

Шаг 14. Переход ко 2-й итерации цикла генерации структуры пути (рисунок 55)

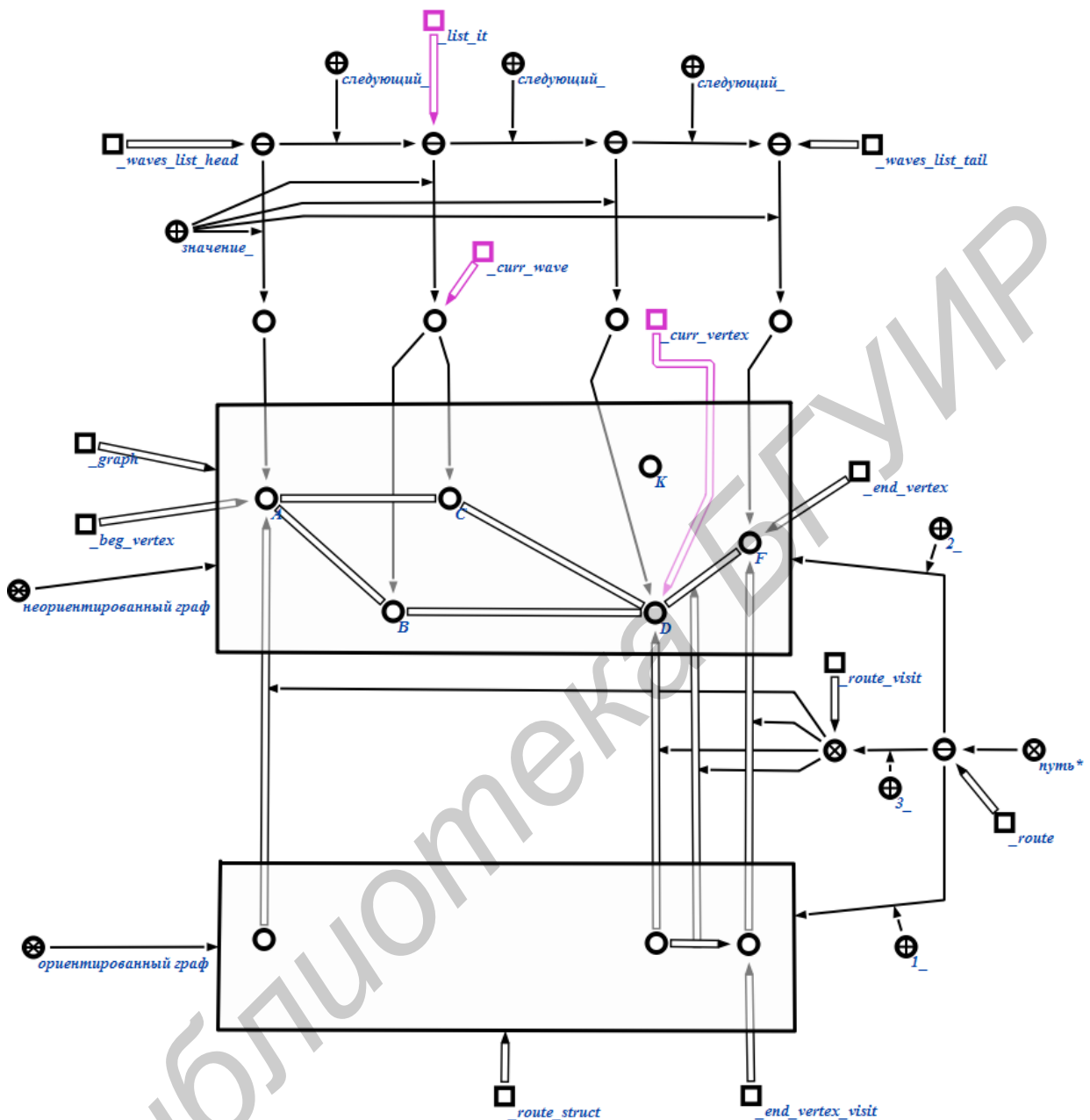


Рисунок 55 – Переход ко 2-й итерации цикла генерации структуры пути

На этом этапе переменная `_curr_vertex` получит в качестве значения вершину, для которой было создано посещение на предыдущей итерации, переменная `_list_it` – предшествующий элемент списка волн для значения переменной `_curr_wave` на предыдущем этапе, переменная `_curr_wave` – обрабатываемую волну для элемента списка из установленного значения `_list_it`.

Шаг 15. Создание посещения вершины на 2-й итерации цикла генерации структуры пути (рисунок 56)

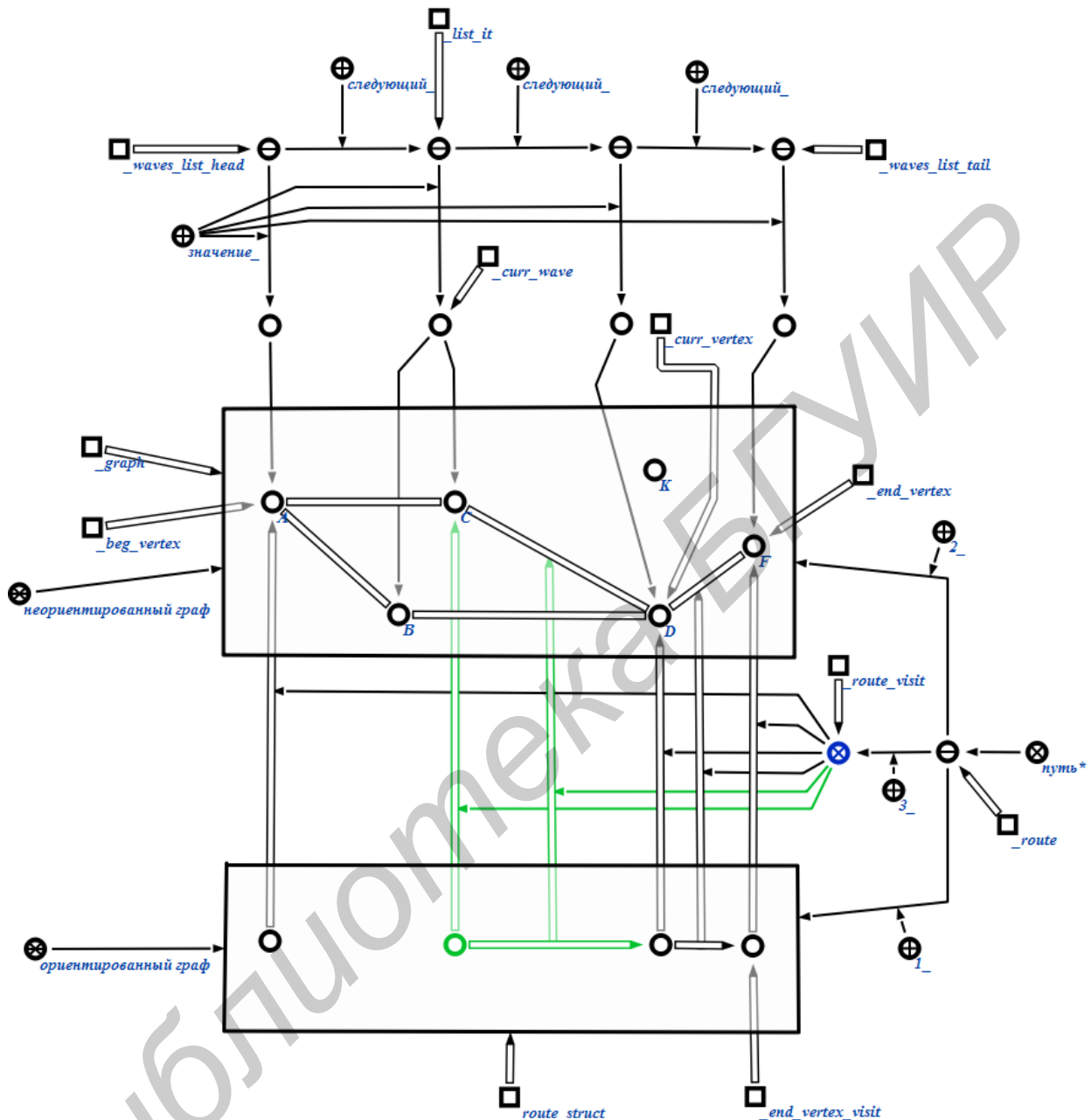


Рисунок 56 – Создание посещения вершины на 2-й итерации цикла генерации структуры пути

Создадим посещение для одной из вершин из волны `_curr_wave`, которая является смежной вершине из переменной `_curr_vertex`. На эту роль была выбрана вершина С. Для ребра, связывающего две вершины, тоже создадим посещение.

Шаг 16. Переход к 3-й итерации цикла генерации структуры пути (рисунок 57)

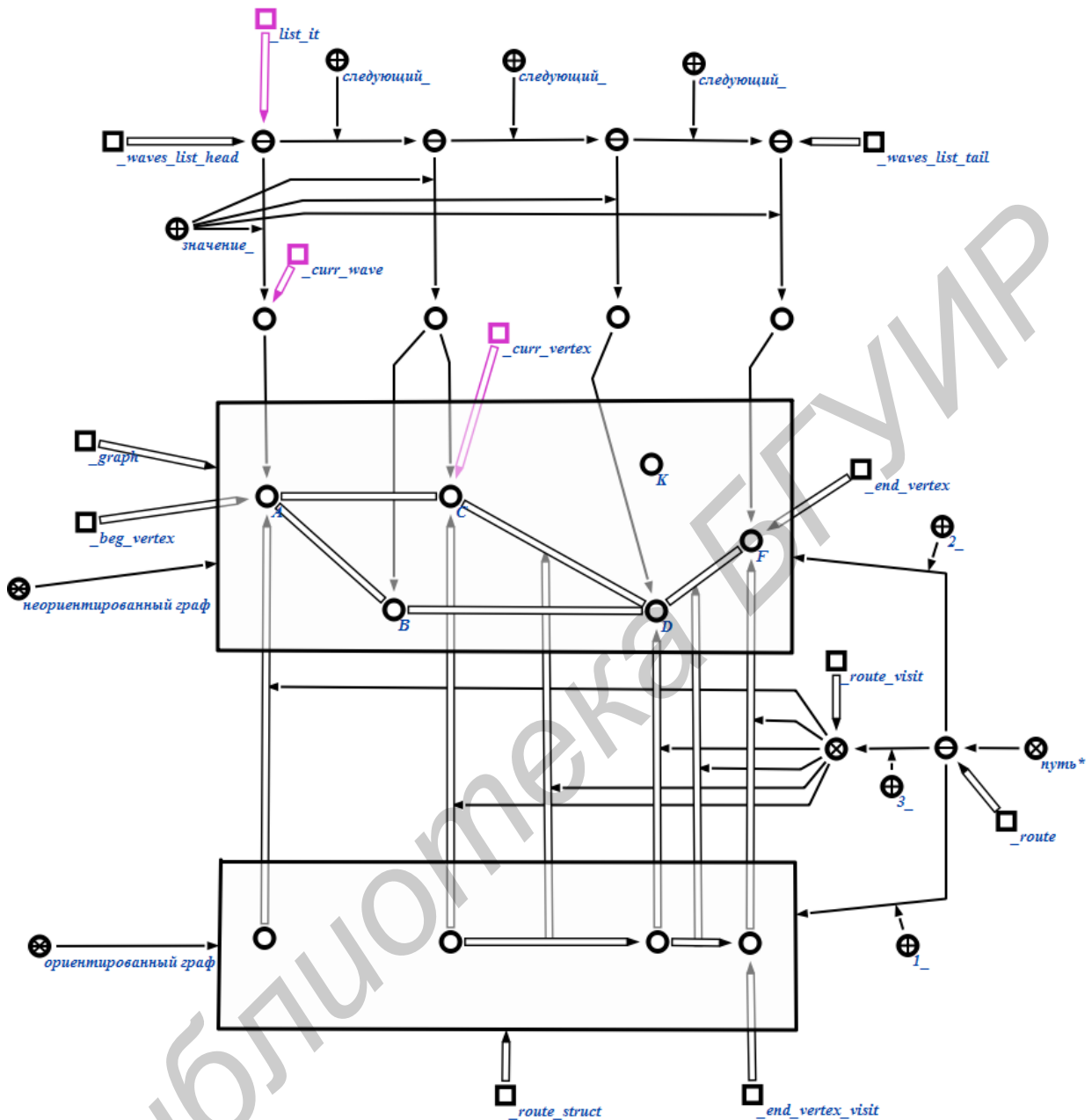


Рисунок 57 – Переход к 3-й итерации цикла генерации структуры пути

На этом этапе переменная `_curr_vertex` получит в качестве значения вершину, для которой было создано посещение на предыдущей итерации, переменная `_list_it` – предшествующий элемент списка волн для значения переменной `_curr_wave` на предыдущем этапе, переменная `_curr_wave` – обрабатываемую волну для элемента списка из установленного значения `_list_it`.

Шаг 17. Создание посещения вершины на 3-й итерации цикла генерации структуры пути (рисунок 58)

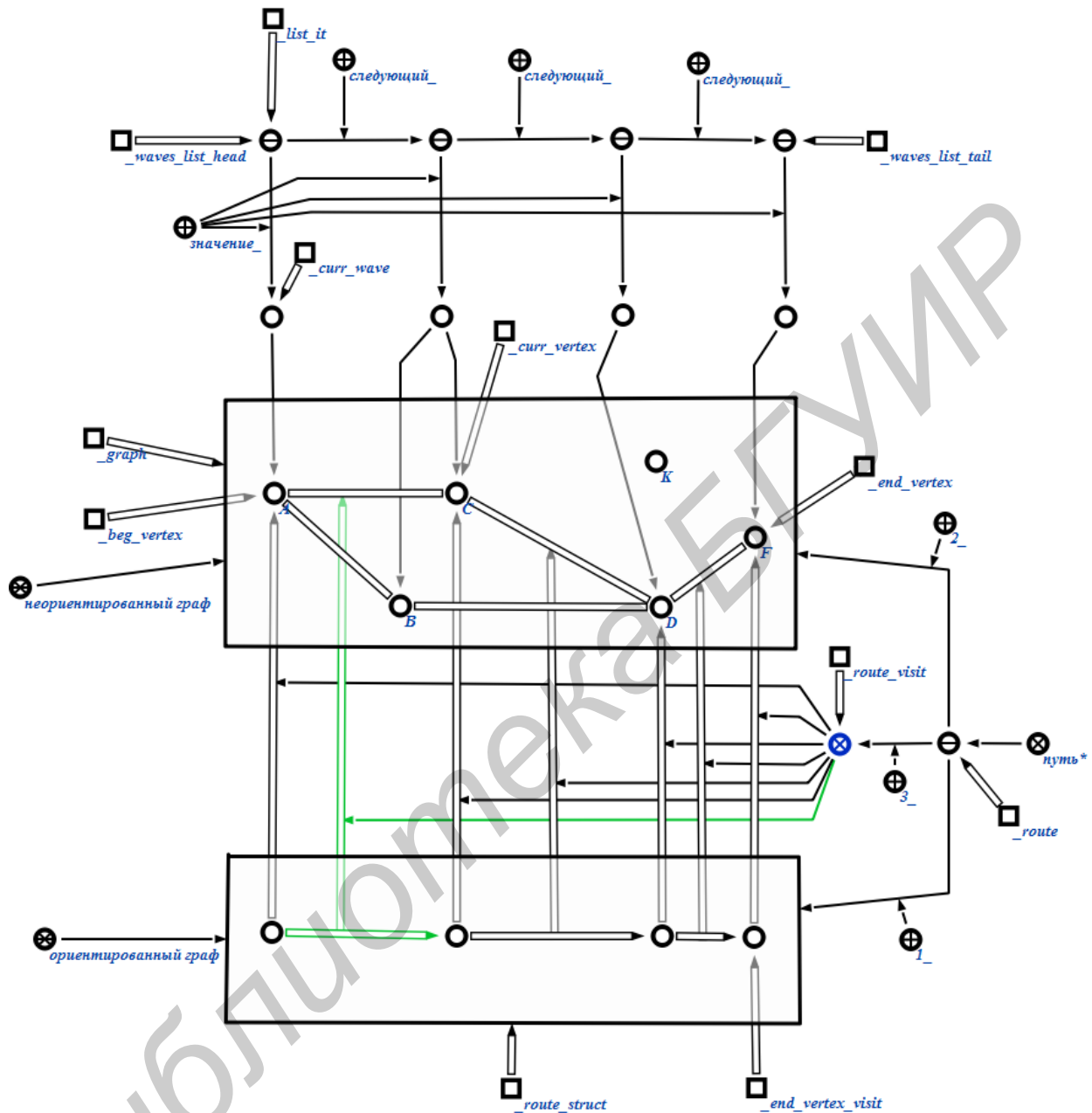


Рисунок 58 – Создание посещения вершины на 3-й итерации цикла генерации структуры пути

Так как для вершины А уже создано посещение, то делать это повторно алгоритм не будет. А вот посещение ребра между вершинами А и С необходимо создать.

Структура пути создана, поэтому завершаем цикл и переходим к очистке sc-памяти от уже ненужных sc-конструкций.

Шаг 18. Удаление списка волн (рисунок 59)

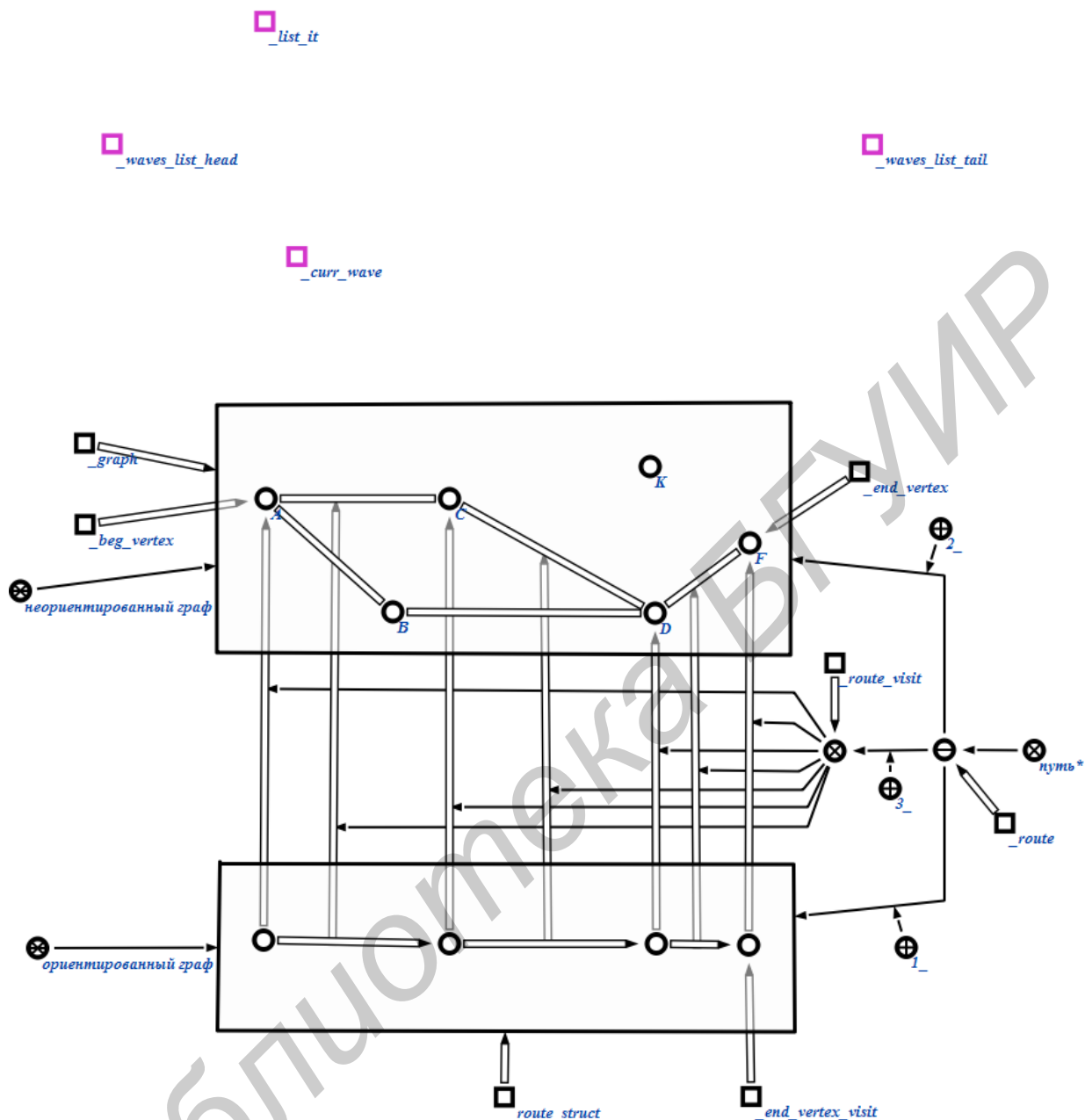


Рисунок 59 – Удаление списка волн

Удалим список волн. Переменные `_list_it`, `_waves_list_head`, `_curr_wave`, `_waves_list_tail` окажутся без значений.

Шаг 19. Результат работы алгоритма (рисунок 60)

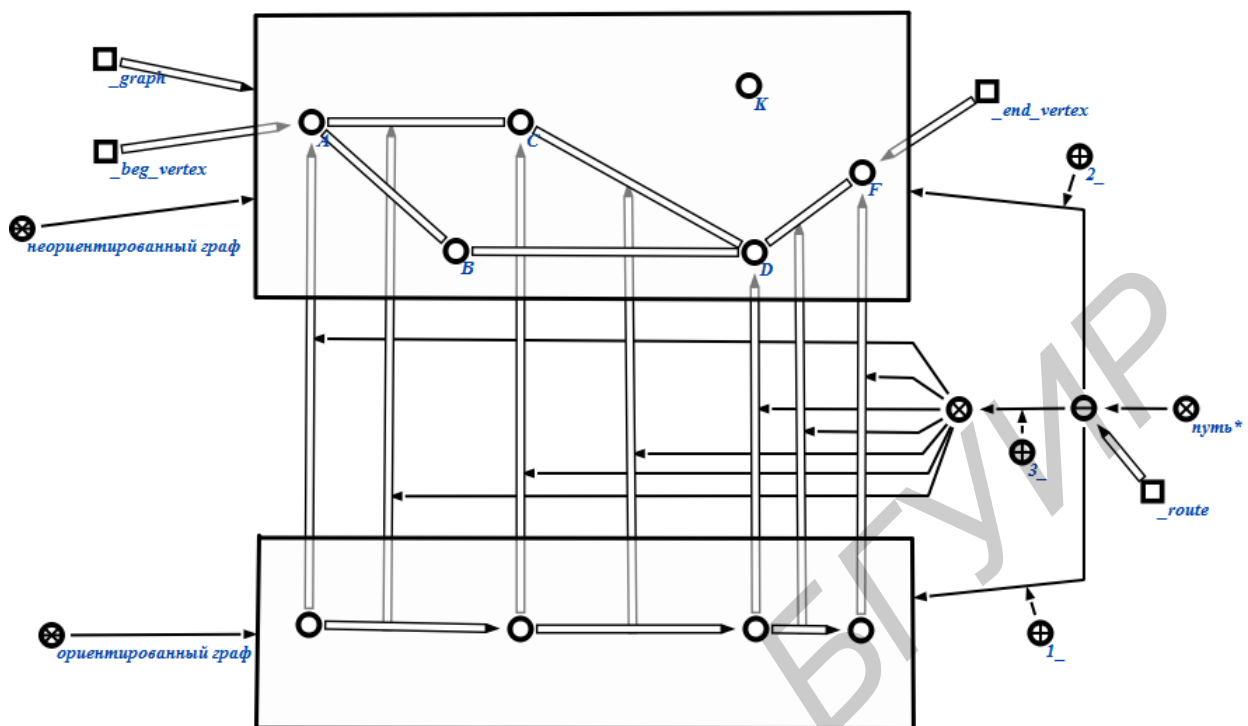


Рисунок 60 – Результаты работы алгоритма

На данном этапе продемонстрирован результат работы алгоритма, значение переменной `_route` будет возвращено в вызывающий контекст.

5.2 Варианты индивидуальных заданий

Варианты индивидуальных заданий к занятию 5 аналогичны перечисленным в занятии 2 (подраздел 2.2).

СПИСОК ИСПОЛЬЗОВАННЫХ ИСТОЧНИКОВ

- 1 Кузнецов, О. П. Дискретная математика для инженера / О. П. Кузнецов, Г. М. Адельсон-Вельский. – М. : Энергоиздат, 1988.
- 2 Представление и обработка знаний в графодинамических ассоциативных машинах / В. В. Голенков [и др.]; под ред. В. В. Голенкова. – Минск : БГУИР, 2001.
- 3 Семантическая технология проектирования интеллектуальных решателей задач на основе агентно-ориентированного подхода / В. В. Голенков, Д. В. Шункевич, И. Т. Давыденко // Программные системы и вычислительные методы. – 2013. – №1.
- 4 Базы знаний интеллектуальных систем : учебник / Т. А. Гаврилова [и др.]. – СПб. : Питер, 2001.
- 5 Шункевич, Д. В. Принципы построения машин обработки знаний интеллектуальных систем на основе семантических сетей / Д. В. Шункевич // Электроника-инфо. – 2014. – №3.
- 6 Давыденко, И. Т. Семантическая модель и средства компонентного проектирования баз знаний на основе унифицированных семантических сетей: Электроника-инфо. – 2013. – №11.
- 7 Давыденко, И. Т. Технология компонентного проектирования баз знаний на основе унифицированных семантических сетей / И. Т. Давыденко // Открытые семантические технологии проектирования интеллектуальных систем (OSTIS–2013) : материалы III Междунар. науч.-техн. конф., Минск, 21–23 февраля 2013 г. – Минск : БГУИР, 2013.
- 8 Шункевич, Д. В. Модели и средства компонентного проектирования машин обработки знаний на основе семантических сетей / Д. В. Шункевич // Открытые семантические технологии проектирования интеллектуальных систем (OSTIS–2013) : материалы III Междунар. науч.-техн. конф., Минск, 21–23 февраля 2013 г. – Минск : БГУИР, 2013.

Учебное издание

Голенков Владимир Васильевич
Гулякина Наталья Анатольевна
Давыденко Ирина Тимофеевна
Шункевич Даниил Вячеславович

**ТРАДИЦИОННЫЕ И ИНТЕЛЛЕКТУАЛЬНЫЕ
ИНФОРМАЦИОННЫЕ ТЕХНОЛОГИИ.
ПОСОБИЕ ДЛЯ ПРАКТИЧЕСКИХ ЗАНЯТИЙ**

ПОСОБИЕ

Редактор *М. А. Зайцева*
Корректор *Е. Н. Батурчик*
Компьютерная правка, оригинал-макет *В. М. Задоля*

Подписано в печать 15.06.2016. Формат 60x84 1/16. Бумага офсетная. Гарнитура «Таймс».
Отпечатано на ризографе. Усл. печ. л. 3,95. Уч.-изд. л. 4,0. Тираж 100 экз. Заказ. 151.

Издатель и полиграфическое исполнение: учреждение образования
«Белорусский государственный университет информатики и радиоэлектроники».
Свидетельство о государственной регистрации издателя, изготовителя,
распространителя печатных изданий №1/238 от 24.03.2014,
№2/113 от 07.04.2014, №3/615 от 07.04.2014.
ЛП №02330/264 от 14.04.2014.
220013, Минск, П. Бровки, 6